

BENEMAR ALENCAR DE SOUZA

SOBRETENSÕES PROVOCADAS POR DESENERGIZAÇÃO
DE REATOR DE ALTA TENSÃO

Dissertação apresentada à Coordenação dos
Cursos de Pós-Graduação em Engenharia Elé
trica da Universidade Federal da Paraíba,
em cumprimento parcial às exigências para
obtenção do grau de Mestre em Engenharia
Elétrica.

ÁREA DE CONCENTRAÇÃO: Processamento da Energia

ORIENTADOR: Prof. Sreeramulu Raghuram Naidu

Campina Grande, Julho de 1981.

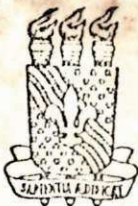


S719s Souza, Benemar Alencar de.
Sobretensões provocadas por desenergização de reator de alta tensão / Benemar Alencar de Souza. - Campina Grande, 1981.
91 f.

Dissertação (Mestrado em Engenharia Elétrica) - Universidade Federal da Paraíba, Centro de Ciências e Tecnologia, 1981.
"Orientação : Prof. Dr. Sreeramulu Raghuram Naidu".
Referências.

1. Reator - Alta Tensão. 2. Reator - Desenergização. 3. Sobretensões. 4. Processamento de Energia. 5. Dissertação - Engenharia Elétrica. I. Naidu, Sreeramulu Raghuram. II. Universidade Federal da Paraíba - Campina Grande (PB). III. Título

CDU 621:316.935(043)



CPqEE/CCT-UFPB

COORDENAÇÃO DE PÓS-GRADUAÇÃO EM ENGENHARIA ELÉTRICA
CENTRO DE CIÊNCIAS E TECNOLOGIA
UNIVERSIDADE FEDERAL DA PARAIBA

PARECER FINAL DO JULGAMENTO DA DISSERTAÇÃO DO MESTRANDO

BENEMAR ALENCAR DE SOUZA

TÍTULO: "SOBRETENSÕES PROVOCADAS POR DESENERGIZAÇÃO DE REATOR DE ALTA TENSÃO"

CONCEITO: Aprovado com Distinção

COMISSÃO EXAMINADORA:

Sreeramulu Raghuram Naidu

PROF. SREERAMULU RAGHURAM NAIDU - Ph.D
- Presidente -

Drumond X. C. Lima

PROF. DRUMOND X. C. LIMA - Doutor

Jose Ailton de Lima

JOSE AILTON DE LIMA - Engenheiro

Campina Grande, 10 de agosto de 1981

RESUMO

Através de simulação digital baseada no método de Dommel, são estudados transitórios causados por corte de corrente que ocorrem quando reatores shunt são desenergizados. Dois meios de amortecimento destes transitórios são analisados: resistor de préinserção e amortecedor RC. São sugeridos valores da resistência de préinserção e dos parâmetros do circuito amortecedor, adequados à redução da sobretensão a nível tolerável. Um modo destas técnicas de amortecimento serem implementadas, é apresentado.

Este estudo se aplica ao reator de compensação da linha *Jaguara-Taquaril* da CEMIG e ao reator da subestação da CHESF em Campina Grande.

ABSTRACT

Digital simulation based on Dommel's method is applied to the study of transient voltages caused by current chopping occurring when shunt reactors are disconnected. Two ways of damping these transient voltages are analysed: the pre-insertion resistor and the RC circuit techniques. Values for the pre-insertion resistance and the damping circuit parameters are suggested, which are adequate to reduce the overvoltage to a fair level. A manner of implementing these damping techniques is presented.

This study applies to the CEMIG *Jaguara-Taquaril* line compensation reactor and to the CHESF substation reactor in Campina Grande.

A meus pais e irmãos.

AGRADECIMENTOS

Ao professor S. R. Naidu, pela valiosa orientação;

ã CHESF (Companhia Hidrelétrica do São Francisco), pelas informações prestadas;

ã Fátima Ribeiro, pelo estímulo e apoio.



SUMÁRIO

INTRODUÇÃO	1
CAPÍTULO I - FENÔMENO DA INTERRUPTÃO DE PEQUENAS CORRENTES IN DUTIVAS	3
1. Definições	6
2. O Fenômeno de Corte de Corrente	8
3. Sobretensões Devidas a Corte de Corrente	13
4. Reignições	16
5. Métodos para Amortecimento de Sobretensão	17
CAPÍTULO II - CÁLCULO DE TRANSITÓRIOS ELETROMAGNÉTICOS	19
1. Método de Dommel para Circuitos Monofásicos	20
2. Simulação de Chaveamentos	30
3. Extensão do Método de Dommel a Sistemas Polifásicos	32
4. Energização de uma Linha Trifásica	43
CAPÍTULO III - ASPECTOS PRÁTICOS DO MÉTODO DE DOMMEL	53
1. Esparsidade da Matriz Condutância	53

2. Redução do Número de Nós	54
3. O Processo Computacional	56
4. Precisão e Estabilidade Numérica	61
5. Sobretensão Devida a Desenergização de Um Reator Shunt ...	62
CAPÍTULO IV - AMORTECIMENTO DA SOBRETENSÃO PROVOCADA PELA DE- SENERGIZAÇÃO DE UM REATOR SHUNT	72
1. O Sistema e as Circunstâncias do Desligamento	73
2. A Simulação Digital e a Solução do Problema	81
3. Implementação dos Meios de Amortecimento Estudados	85
CONCLUSÕES	89
REFERÊNCIAS	90
APÊNDICE	92

INTRODUÇÃO

A confiabilidade de um sistema de potência é julgada pela frequência e duração das interrupções no suprimento da energia. Isto em grande parte depende do desempenho do sistema em presença de surtos. Nem sempre é economicamente viável ou mesmo tecnicamente possível proporcionar ao sistema, isolamento capaz de suportar qualquer impulso que possa ocorrer. Assim um certo nível de sobretensão é deliberadamente aceito, enquanto dota-se o sistema de meios pelos quais as sobretensões sejam atenuadas, de modo que este limite especificado não seja violado.

A interrupção de uma corrente indutiva relativamente pequena, por um disjuntor, pode ser feita de forma abrupta, provocando algumas vezes sobretensões muito elevadas. Este fenômeno, conhecido como corte de corrente (chopping current), é analisado no Capítulo I, através de um modelo simplificado. Ainda neste capítulo são apresentados alguns meios de amortecimento de tais so-

FIM
bretensões*

O corte de corrente se manifesta no desligamento de transformadores sem carga ou com carga indutiva, de motores e de reatores shunt. Este trabalho trata dos efeitos desta última operação. Dois estudos práticos são realizados. Um sobre o reator de compensação da linha *Jaguara-Taquaril* da CEMIG outro sobre o reator da subestação da CHESF em Campina Grande. Para estes estudos foi utilizado um programa de computador desenvolvido com base no método de DOMMEL (1966, 1969, 1974). O Capítulo II trata detalhadamente dos princípios desta Técnica Computacional. O método de Dommel é considerado sob o ponto de vista prático no Capítulo III.

No Capítulo IV é analisado o amortecimento de sobretensão por ação de resistores de preinserção e amortecedor RC. Uma forma de implementar estes meios de amortecimento é apresentada. Valores adequados a redução da sobretensão a nível tolerável são sugeridos. * F

CAPÍTULO I

FENÔMENO DA INTERRUPTÃO DE PEQUENAS CORRENTES INDUTIVAS

As operações de chaveamento que acontecem em um sistema de potência são várias. Elas tanto podem ser manuais, durante funcionamento normal do sistema, quanto automáticas, posteriores a faltas ou curto-circuitos. Em consequência destas operações aparecem transitórios e em alguns casos elas causam sobretensões elevadas.

As sobretensões oriundas de chaveamento não são críticas para o sistema, desde que não ultrapasse ou mesmo não alcance o nível suportável de impulso de manobra do equipamento deste sistema (*Switching Impulse Withstand Level* ou *SIWL*). O valor crítico da tensão de manobra depende portanto do *SIWL*, o qual pode ser escolhido dentre os vários valores dados na publicação *IEC 71-1*. Esta escolha é de importância econômica, visto que o preço do equipamento de alta tensão é principalmente determinado pela tensão suportável especificada. A técnica de coordenação de isolamento é

usada para encontrar uma solução ótima, entre os diferentes níveis básicos do IEC 71-1 e os diferentes níveis de tensão suportável do equipamento.

Se as perspectivas de sobretensão num Sistema de potência estão acima do nível suportável pelo equipamento, o *SIWL* deste equipamento deve ser aumentado (isto porém, torna-se muito caro em alta tensão), ou então as sobretensões devem ser reduzidas a níveis aceitáveis:

- a - Por pára-raios ou outros dispositivos;
- b - Modificando-se a operação de chaveamento; por exemplo: usando-se resistores de preinserção.

Este primeiro método de redução não pode ser aplicado em todos os pontos do sistema. Assim a coordenação de isolamento requer que a sobretensão seja mantida abaixo de certo nível.

A interrupção de pequenas correntes indutivas é uma das operações que pode provocar surtos de tensão. Esta operação acontece em desligamento de reatores, transformadores sem carga ou carregados com reatores, e motores. Nestes casos a corrente interrompida é pequena, comparada com a corrente de falta no sistema. Ela compreende a corrente magnetizante do transformador, a corrente nominal do reator, ou a corrente de partida do motor ou corrente do motor sem carga. Estas operações acontecem com grande frequência em todos os níveis de tensão, e podem ser de importância econômica.

Em sistema com tensão nominal de 245 KV acima, é sempre necessário compensar a potência reativa de linhas de transmissão longas. O grau de compensação normalmente está entre 50 e 75% da potência reativa Q da linha. Sendo

$$Q = U_m^2 \omega C \ell = U_m^2 \omega \frac{\ell}{Z_m v}$$

onde,

U_m = tensão do sistema;

Z_m = impedância de surto de sequência positiva ;

v = velocidade de propagação;

ℓ = comprimento da linha;

C = capacitância por unidade de comprimento.

BURGER (1975) mostra na tab. 1 valores indicativos de impedância de surtos e as potências reativas necessárias para compensação de 50% e 75% da potência em linhas aéreas, em função da tensão nominal. γF

O disjuntor de alta tensão deve interromper com segurança, todas as correntes, das menores correntes até à corrente de curto-circuito. Em particular, ele deve ser capaz de desligar sem reignição, linhas longas sem carga. Isto requer um rápido aumento na rigidez dielétrica entre os contatos abertos, isto é, um vigoroso jato do meio de extinção. Disjuntores assim, tão ponderosos, têm a propriedade de interromper correntes relativamente pequenas antes ou depois do instante em que a corrente é zero, dependendo do momento em que o disjuntor é acionado. Nos casos de cargas indutivas, tais como reatores ou transformadores carregados reativamente, isto pode dar origem a sobretensões elevadas.

1. Definições.

As definições seguintes, ilustradas na fig. 1, serão usadas neste estudo.

Corrente indutiva: corrente de frequência industrial através de um disjuntor, para um circuito indutivo tendo um fator de potência de 0,5 ou menor.

Corrente indutiva pequena: corrente indutiva tendo uma amplitude consideravelmente menor que a corrente nominal de curto-circuito.

Instabilidade do arco: qualquer mudança abrupta na condutividade do arco entre os contatos do disjuntor, ocorrendo fora do zero natural e tendo origem nas características do arco e/ou no meio de extinção. (Instabilidade do arco pode aparecer como uma descontinuidade e/ou uma oscilação de alta frequência na tensão e/ou na corrente no disjuntor).

Oscilação de Instabilidade: instabilidade do arco que aparece na corrente como uma oscilação de alta frequência, com um aumento de amplitude durante pelo menos uma parte da oscilação.

Corte de Corrente: interrupção repentina de corrente no disjuntor num instante em que esta corrente de frequência industrial não passa pelo zero. (Corte de corrente pode ser a consequência de instabilidade do arco ou de transitórios no circuito).

Corrente cortada: valores instantâneos de corrente de frequência industrial através do polo do disjuntor em abertura no momento do corte. Esta corrente pode ser diferente daquela através da indutância principal (fig. 2).

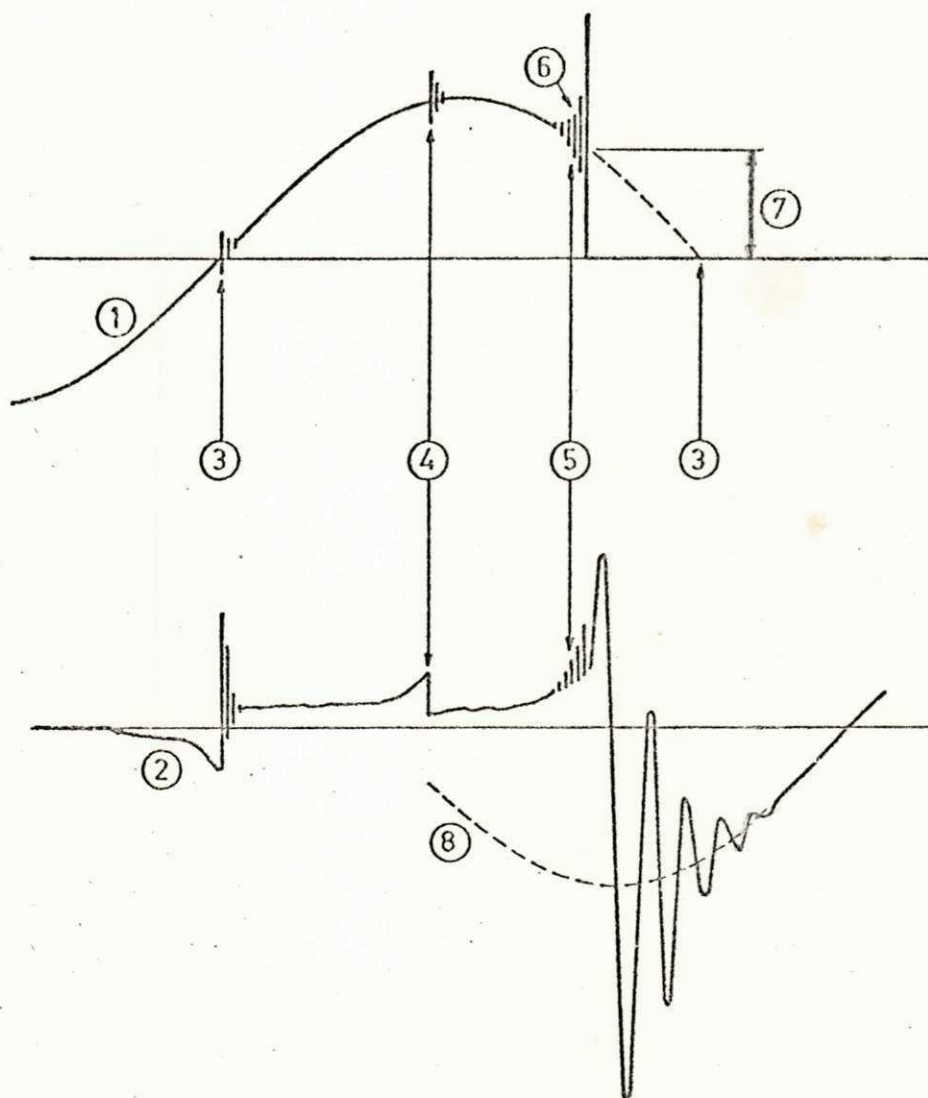


Fig. 1 - (1) Corrente através do disjuntor; (2) tensão entre os terminais do disjuntor, u_a ; (3) zero da corrente de frequência industrial; exemplos de instabilidade do arco: (4) não levando a corte de corrente, e (5) levando a corte de corrente; (6) oscilação de instabilidade; (7) corrente cortada, i_{ch} ; (8) tensão de alimentação.

2. O Fenômeno de Corte de Corrente.

No momento de interrupção de pequenas correntes indutivas, disjuntores de todos os tipos forçam a corrente a se anular, num instante diferente daquele em que ela passa naturalmente por zero. Para disjuntores a óleo, a ar comprimido e a SF₆, o corte de corrente é geralmente a consequência de uma interação instantânea entre o arco do disjuntor e o circuito externo. Uma típica forma de corrente é mostrada na fig. 2. A partir de um certo nível i_i de corrente, uma oscilação de instabilidade desenvolve-se, a qual leva ao corte de corrente de valor i_{ch} . A frequência é usualmente tão elevada (da ordem de 100 kHz) e a amplitude da oscilação cresce tão rapidamente que se pode considerar o corte como instantâneo.

Quando se trata de interrupção de pequena corrente indutiva, o circuito equivalente simplificado mostrado na fig. 3 pode ser usado como uma primeira aproximação. A indutância L_s e L_t são bastante altas, portanto o circuito externo, que interage com o arco resultando no corte de corrente, é aproximadamente a capacitância C (igual a C_s e C_t em série).

Para arco de disjuntores, o modelo simplificado da fig. 4 pode ser usado (SLAMECKA, 1980). Neste modelo, o arco é suposto com características estáticas:

$$U_a i_a^\alpha = \eta$$

onde,

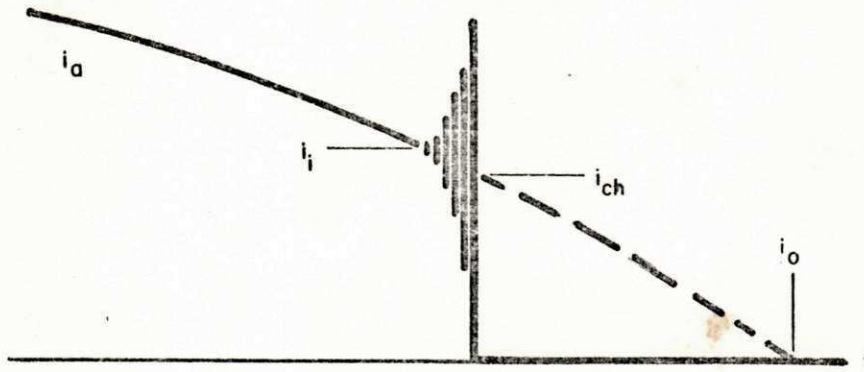


Fig. 2 - Representação esquemática do corte de corrente. i_a corrente do arco, i_i corrente de instabilidade, i_{ch} corrente cortada, i_0 zero natural da corrente.

UNIVERSIDADE FEDERAL DA PARAÍBA
 Pró-Reitoria Para Assuntos do Interior
 Coordenação Setorial de Pós-Graduação
 Rua Aprígio Veloso 822 - Tel (083) 321-7222-R 355
 58.100 - Campina Grande - Paraíba

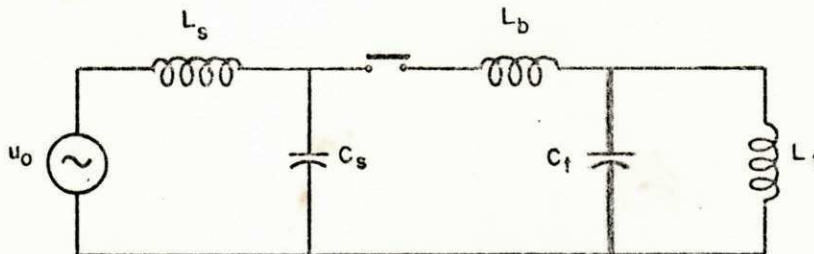


Fig. 3 - Circuito equivalente monofásico simplificado.

$$\begin{aligned}
 U_a &= \text{tensão do arco,} \\
 i_a &= \text{corrente do arco, e} \\
 \alpha, \eta &= \text{constantes.}
 \end{aligned}$$

As características estáticas aplicam-se para correntes contínuas tanto quanto para corrente alternada, embora mudança rápida da corrente introduza desvios, devido a inércia térmica do arco. Após um pequeno desvio, uma nova condição estacionária é suposta alcançada aproximadamente de modo exponencial, com uma constante de tempo θ . Para tais desvios, o arco pode ser substituído pelo circuito equivalente mostrado na fig. 4b.

No circuito equivalente, R_a é a resistência estática do arco para uma corrente I_a antes da perturbação:

$$R_a = \frac{U_a}{I_a}$$

Por definição

$$R_i = - \frac{\alpha R_a}{(1 + \alpha)}$$

$$L_a = \frac{\theta R_a}{1 + \alpha}$$

A fig. 5 mostra o circuito resultante que determina o limite de instabilidade (indutâncias parasitas tendo sido desprezadas). Pode-se mostrar que a equação diferencial para a corrente i (correspondente ao desvio da corrente do arco em regime permanente) neste circuito é:

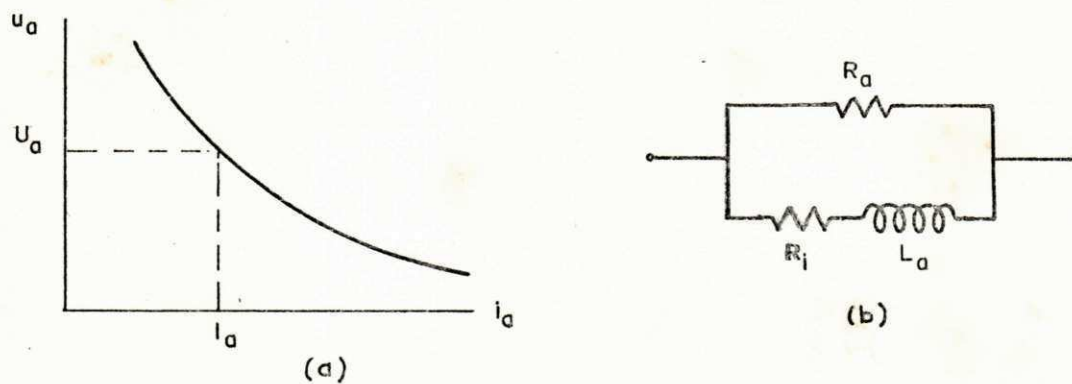


Fig. 4 - Característica do arco e circuito equivalente para pequenos desvios do regime permanente.

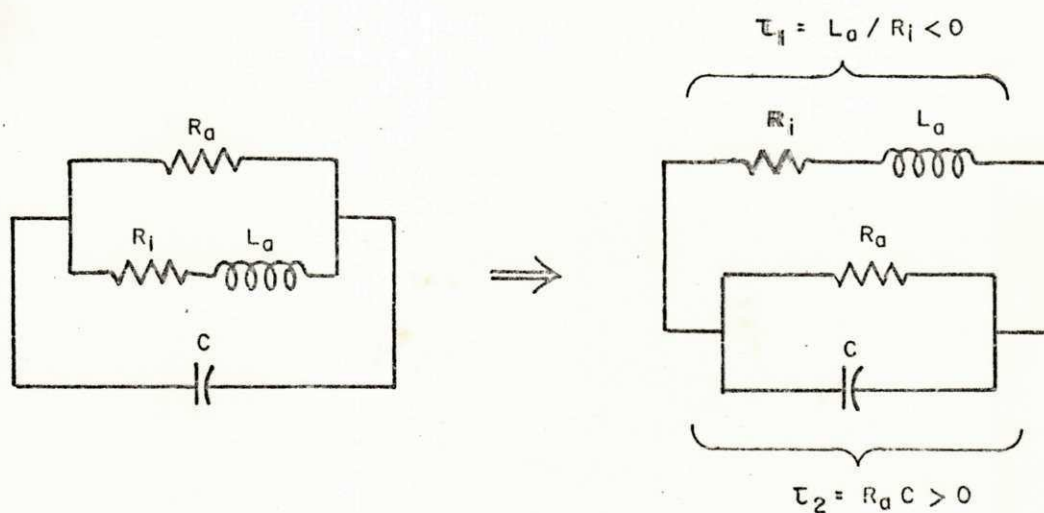


Fig. 5 - Circuito para determinação do limite de instabilidade do arco.

$$\frac{d^2 i}{dt^2} + \left(\frac{1}{\tau_1} + \frac{1}{\tau_2} \right) \frac{di}{dt} + \omega_0^2 i = 0$$

com

$$\tau_1 = L_a / R_i$$

$$\tau_2 = R_a C$$

$$\omega_0^2 = \frac{R_a + R_i}{R_a} \cdot \frac{1}{L_a C}$$

A solução é

$$i(t) = \hat{i} e^{-t/\tau} \cos(\omega_i t + \phi)$$

com

$$1/\tau = 1/2(1/\tau_1 + 1/\tau_2)$$

$$\omega_i = \sqrt{\omega_0^2 - 1/\tau^2}$$

ϕ é o ângulo de fase e \hat{i} é a amplitude da corrente, ambas dependentes das condições iniciais. Se

$$\frac{1}{\tau_1} + \frac{1}{\tau_2} < 0$$

o coeficiente de amortecimento τ é negativo, isto significa que a amplitude da corrente aumentará com o tempo em vez de diminuir. Há portanto uma interação instável entre o arco do disjuntor e o

circuito externo.

O modelo simplificado permite explicar o fenômeno razoavelmente. Existem teorias mais esclarecedoras e mais profundas, que porém não são convenientes aqui. Isto porque, o presente estudo é concernente a sobretensões devidas a corte de corrente e não ao corte em si. *XF*

3. Sobretensões Devidas a Corte de Corrente.

A intensidade da sobretensão, resultante do corte de corrente num circuito monofásico, é determinada principalmente pela corrente cortada i_{ch} , a capacitância C_t e a indutância L_t da carga. *XF* A fig. 6 mostra o mais frequente caso de corte de corrente antes da passagem natural por zero. A tensão na carga aumenta para um primeiro máximo com amplitude U_m ; em seguida oscila com uma frequência (tipicamente de 0,5 a 10 kHz) dada pelas características do circuito. A sobretensão é provocada pela liberação da energia magnética armazenada no momento do corte da corrente. É usualmente justificável considerar o corte de corrente como um degrau de corrente instantânea.

X Para ilustrar o fenômeno da sobretensão provocada por corte de corrente, o circuito da fig. 7 pode ser usado. Supondo que a corrente é instantaneamente interrompida em seu pico, e que a presença de L_g pode ser negligenciada, a tensão transitória através do reator pode ser obtida:

$$u(t) = \sqrt{2} U_0 \frac{\omega_0}{\omega} \text{sen } \omega_0 t$$

UNIVERSIDADE FEDERAL DA PARAÍBA
 Pró-Reitoria Para Assuntos do Interior
 Coordenação Setorial de Pós-Graduação
 Rua Aprígio Veloso, 882 - Tel (083) 321-7222-R 355
 58.100 - Campina Grande - Paraíba

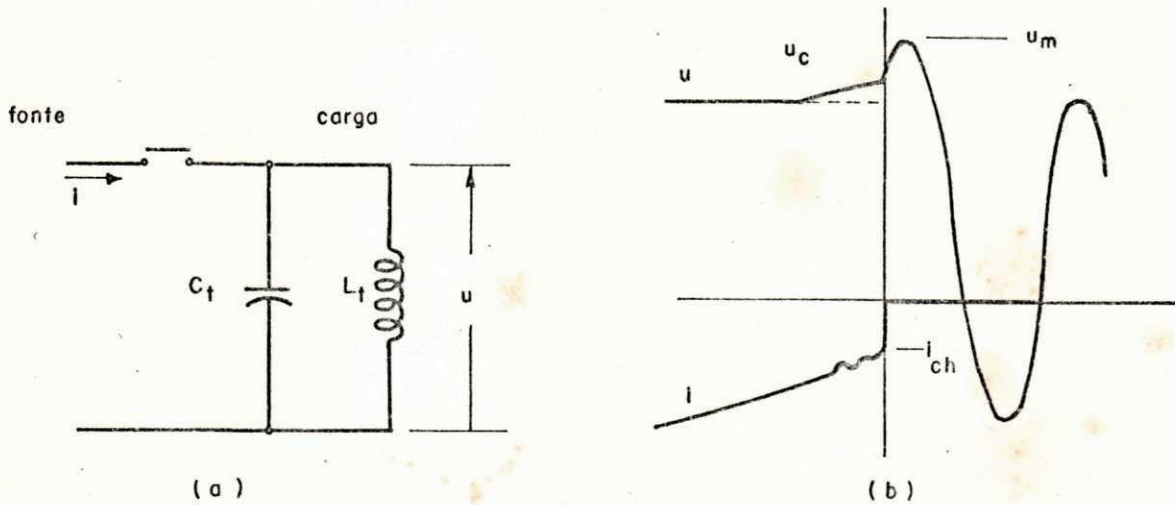


Fig. 6 - Sobretensões no instante de corte de corrente.
 (a) Circuito equivalente; (b) Corte antes da
 passagem natural por zero.

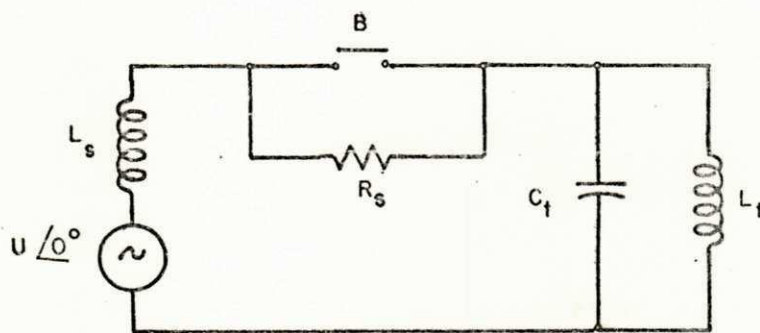


Fig. 7 - Circuito para ilustrar o fenômeno da sobretenção provocada por corte de corrente.

onde

$$\omega_0 = \frac{1}{\sqrt{L_t C_t}}$$

A frequência natural ω_0 é muito maior que a frequência da fonte. Portanto, sobretensões muito elevadas podem ocorrer.

Quando um disjuntor é equipado com resistor de preinserção R_s , a tensão transitória através do reator pode ser superamortecida, criticamente amortecida ou subamortecida, respectivamente se $R_s < R_0$, $R_s = R_0$ ou $R_s > R_0$. Sendo

$$R_0 = \frac{1}{2} \sqrt{\frac{L_t}{C_t}}$$

a resistência de amortecimento crítico. No caso da tensão ser criticamente amortecida

$$u(t) = \sqrt{2} U_0 \frac{\omega_0}{\omega} (\omega_0 t e^{-\omega_0 t})$$

O valor máximo do transitório é

$$U_{\max} = \sqrt{2} U_0 \frac{\omega_0}{\omega} \frac{1}{e}$$

onde e é a base neperiana. A sobretensão devida ao corte de corrente pode ser consideravelmente reduzida por um resistor de preinserção apropriado.

Circuitos trifásicos são mais complicados, especialmente quando a carga indutiva tem indutância mútua. Nestes casos, o cál

culo de sobretensões é melhor efetuado através de computador digital. JOSS

4. Reignições.

Após a interrupção da corrente, a tensão na carga indutiva passa a oscilar, como foi descrito na secção anterior. Se durante esta oscilação, a tensão suportável do disjuntor é momentaneamente excedida, acontecerá reignição. Uma corrente de oscilação rápida se estabelecerá através do disjuntor, iniciada pela diferença entre as tensões do lado da fonte e do lado da carga do circuito. Tais reignições podem se repetir várias vezes.

Reignições causam troca de energia no circuito. A energia que se encontra no lado da carga do disjuntor é de especial interesse, pois esta energia é responsável pelo possível pico de tensão através da capacitância C_t , isto é, o possível pico de tensão para a terra, no lado de carga do disjuntor depois de cada interrupção.

Sobretensões muito altas podem ocorrer caso haja reignições sucessivas, onde cada reignição aumenta o pico de tensão na carga, pelo aumento da energia armazenada. Esta situação é chamada *escalada de tensão* e pode ocorrer com disjuntores capazes de interromper correntes com alta taxa de variação na passagem por zero. A análise de reignição é complexa e não é considerada neste estudo. XF

5. Métodos para Amortecimento de Sobretensão.

A análise simplificada da secção 3 sugere alguns métodos para amortecer sobretensões causadas por corte de corrente. O uso dos seguintes métodos permitem este amortecimento: X.F

- a - Chaves *load-break* para manobrar reatores;
- b - Pára-raios;
- c - Circuitos amortecedores em paralelo com o reator.

Chaves *load-break* tem a capacidade de interromper correntes normais, compatíveis com sua corrente nominal, porém elas não podem interromper correntes de faltas. Isto é, o sistema de proteção deve assegurar que tais correntes anormais serão interrompidas por um disjuntor apropriado, antes da chave *load-break* abrir, na tentativa de isolar a falta. A decisão de usar este tipo de chave normalmente deve ser tomada no estágio de planejamento.

SARKINEN et alii (1979) apresenta um exemplo de reator manobrado por chave *load-break*.

BURGER (1975) propõe o uso de pára-raios para amortecer sobretensões provocadas por interrupção de pequenas correntes indutivas. Quando reatores são manobrados, as sobretensões geradas podem causar centelhamento do pára-raio repetidamente, e a corrente neste dispositivo pode durar muito mais do que aquela que se estabelece quando ocorre descarga atmosférica. Estudos cuidadosos e detalhados devem ser feitos para se escolher um pára-raio adequado, capaz de dissipar a energia do reator. Atualmente, é possível simular a característica do pára-raio em computador digital.

A terceira alternativa é usar um circuito amortecedor consistindo de um ramo RC série conectado aos terminais do reator Es

ta técnica tem sido usada em circuitos de média tensão (DAMSTRA, 1976). O presente estudo propõe a conexão temporária de um ramo RC ao reator, antes do desligamento. Um resistor de preinserção R_g , para o disjuntor, também é sugerido. Valores adequados dos parâmetros do circuito amortecedor são apresentados, depois da simulação digital do transitório devido ao corte de corrente.

CAPÍTULO II

CÁLCULO DE TRANSITÓRIOS ELETROMAGNÉTICOS

UNIVERSIDADE FEDERAL DA PARAÍBA
Pró-Reitoria Para Assuntos do Interior
Coordenação Setorial de Pós-Graduação
Rua Aprígio Veloso, 882 - Tel (083) 321-7222-R 355
58.100 - Campina Grande - Paraíba

Qualquer sistema, monofásico ou polifásico, constituído de resistências, indutâncias, capacitâncias e linhas de transmissão, com parâmetros distribuídos, pode ser resolvido pelo método sugerido por DOMMEL (1966, 1969, 1974). Esta técnica é especialmente adequada para análise de transitórios eletromagnéticos, através de computador digital, a partir de quaisquer condições iniciais. Com este método, é possível se levar em conta dependência da frequência, variação com o tempo, e não linearidade de algum elemento do circuito. O sistema pode ser submetido a qualquer número de chaveamentos sucessivos ou simultâneos.

O método de Dommel é um procedimento recursivo. Partindo-se das condições iniciais, isto é, conhecidas as tensões e correntes nos instantes $t_0 - \Delta t$, $t_0 - 2\Delta t, \dots$ o estado do sistema é determinado em $t_0 + \Delta t$, $t_0 + 2\Delta t, \dots$ até um especificado t_{\max} . O intervalo base de tempo Δt , é fixo. No instante t , os valores de

tensões e correntes em $t - \Delta t$, $t - 2\Delta t, \dots$ já foram determinados; uma parte destes *valores passados*, conhecida como *valores históricos*, é utilizada para determinar o estado atual do sistema. xf

xf

1. Método de Dommel para Circuitos Monofásicos.

1.1 Linha sem Perda.

Tensão e e corrente i num ponto x ao longo de uma linha sem perda, com indutância L e capacitância C por unidade de comprimento, se relacionam por:

$$-\frac{\partial e}{\partial x} = L \frac{\partial i}{\partial t} \quad (1a)$$

$$-\frac{\partial i}{\partial x} = C \frac{\partial e}{\partial t} \quad (1b)$$

A solução geral destas equações é:

$$i(x, t) = f_1(x - vt) + f_2(x + vt) \quad (2a)$$

$$e(x, t) = Z f_1(x - vt) - Z f_2(x + vt) \quad (2b)$$

onde f_1 e f_2 são funções arbitrárias das variáveis $(x - vt)$ e $(x + vt)$. Fisicamente, $f_1(x - vt)$ é uma onda progressiva e $f_2(x - vt)$ é uma onda regressiva, que viajam com velocidade

$$v = \frac{1}{\sqrt{LC}} ;$$

$$Z = \sqrt{\frac{L}{C}} \quad (3)$$

é a impedância de surto da linha.

Das equações (2) se obtém:

$$e(x, t) + Zi(x, t) = 2Zf_1(x - vt) \quad (4)$$

$$e(x, t) - Zi(x, t) = -2Zf_2(x + vt) \quad (5)$$

Em (4) a expressão $(e + Zi)$ é constante se $(x - vt)$ for; Do mesmo modo, se $(x + vt)$ for constante, a expressão $(e - Zi)$ em (5) também é. Isto significa o seguinte: Para um observador imaginário, viajando ao longo da linha na direção da onda progressiva com velocidade v , $(x - vt)$, e conseqüentemente $(e + Zi)$, serão constantes ao longo da linha. Como o tempo de trânsito de um ao outro extremo da linha, de comprimento d , é

$$\tau = \frac{d}{v} = d\sqrt{LC} \quad (6)$$

então a expressão $(e + Zi)$ vista pelo observador quando parte de um extremo em $t - \tau$, é a mesma que encontra quando chega em t , ao outro extremo. Isto é, com respeito a fig. 1,

$$e_m(t - \tau) + Zi_{km}(t - \tau) = e_k(t) + Z(-i_{km}(t))$$

Desta equação resulta

$$i_{km}(t) = \frac{1}{Z} e_k(t) - I_k(t - \tau) \quad (7a)$$

Analogamente,

$$i_{mk}(t) = \frac{1}{Z} e_m(t) - I_m(t - \tau) \quad (7b)$$

onde,

$$I_k(t - \tau) = \frac{1}{Z} e_m(t - \tau) + i_{mk}(t - \tau)$$

$$I_m(t - \tau) = \frac{1}{Z} e_k(t - \tau) + i_{km}(t - \tau)$$

são conhecidas no instante t , uma vez que são uma combinação de valores históricos de tensões e correntes, determinados no tempo $(t - \tau)$. Estas equações na variável t , em vez de $(t - \tau)$ são:

$$I_k(t) = \frac{1}{Z} e_m(t) + i_{mk}(t) \quad (8a)$$

$$I_m(t) = \frac{1}{Z} e_k(t) + i_{km}(t) \quad (8b)$$

substituindo-se nestas equações os valores de $i_{mk}(t)$ e $i_{km}(t)$ dados em (7), resultam as equações:

$$I_k(t) = \frac{1}{Z} e_m(t) - I_m(t - \tau) \quad (9a)$$

$$I_m(t) = \frac{1}{Z} e_k(t) - I_k(t - \tau) \quad (9b)$$

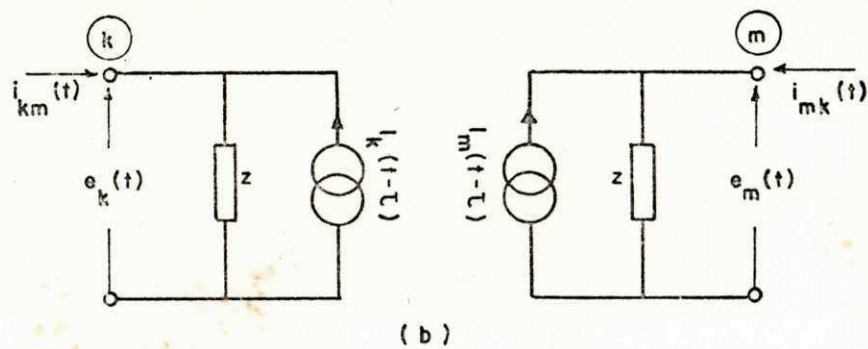
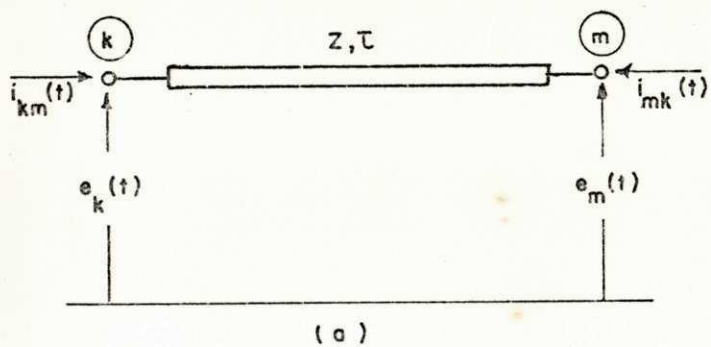


Fig. 1 - (a) Linha monofásica sem perda. (b) Circuito equivalente.

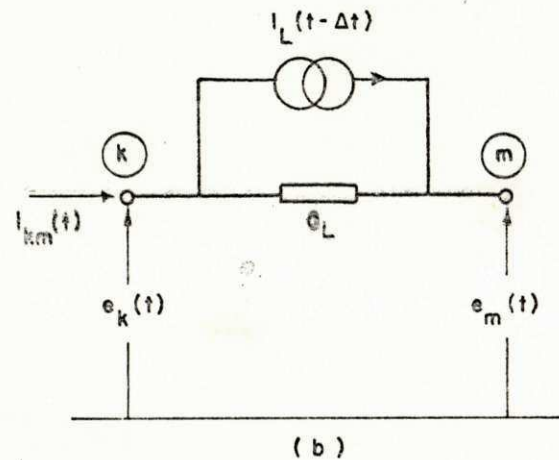
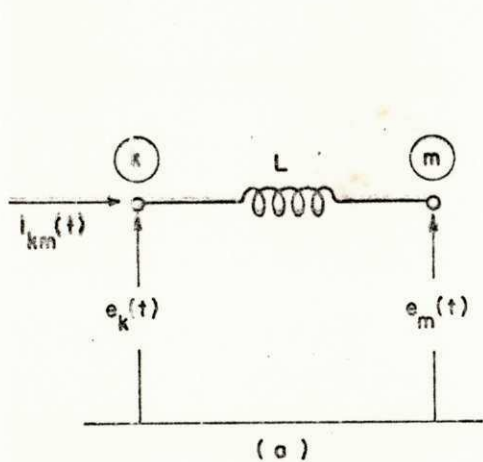


Fig. 2 - (a) Indutância. (b) Circuito equivalente.

com as quais se podem calcular I_k e I_m recursivamente.

A fig. 1 mostra o circuito equivalente, que descreve plenamente a linha, vista nos seus terminais. Lá, I_k e I_m aparecem como fontes equivalentes de correntes. Topologicamente, os terminais não estão conectados; Contudo, as condições em um extremo, são sentidas no outro, com um atraso de τ .

1.2 Indutância.

Para a indutância L da fig. 2,

$$e_{km}(t) = L \frac{di_{km}(t)}{dt}$$

Esta equação pode ser integrada de $t - \Delta t$ a t :

$$\int_{t-\Delta t}^t di_{km}(t) = \frac{1}{L} \int_{t-\Delta t}^t e_{km}(t) dt$$

Usando a regra de integração trapezoidal, resulta:

$$i_{km}(t) = G_L \cdot e_{km}(t) + I_L(t - \Delta t)$$

onde,

$$G_L = \frac{\Delta t}{2L} \tag{10}$$

e

$$I_L(t - \Delta t) = G_L \cdot e_{km}(t - \Delta t) + i_{km}(t - \Delta t)$$

ou evidentemente,

$$I_L(t) = G_L \cdot e_{km}(t) + i_{km}(t) \quad (11)$$

eliminando $i_{km}(t)$ desta equação, então

$$I_L(t) = 2G_L \cdot e_{km}(t) + I_L(t - \Delta t) \quad (12)$$

A fig. 2b apresenta o circuito equivalente do indutor. Lá, I_L é uma fonte de corrente com valor fixo durante cada intervalo Δt .

1.3 Capacitância.

Para a capacitância da fig. 3,

$$i_{km}(t) = C \frac{de_{km}(t)}{dt}$$

Da integração desta equação, de $t - \Delta t$ a t , usando-se a regra do trapézio, resulta

$$i_{km}(t) = G_c \cdot e_{km}(t) - I_c(t - \Delta t)$$

onde,

$$G_c = \frac{2C}{\Delta t} \quad (13)$$

UNIVERSIDADE FEDERAL DA PARAÍBA
Pró-Reitoria Para Assuntos do Interior
Coordenação Setorial de Pós-Graduação
Rua Aprígio Veloso 882 Tel (083) 321-7222-R 355
58.100 - Campina Grande - Paraíba

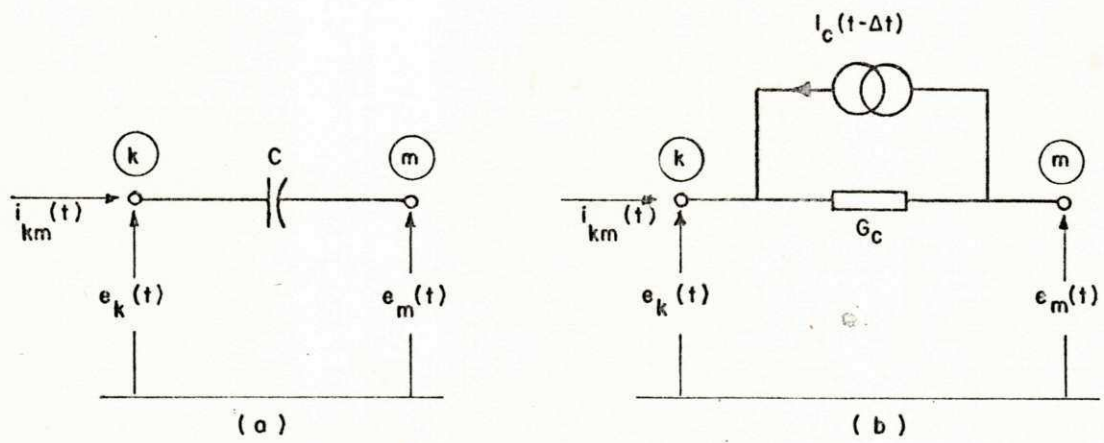


Fig. 3 - (a) Capacitância. (b) Circuito equivalente.

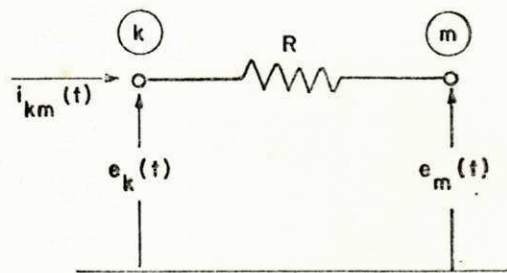


Fig. 4 - Resistência.

e,

$$I_e(t - \Delta t) = i_{km}(t - \Delta t) + G_e e_{km}(t - \Delta t)$$

trocando-se a variável $(t - \Delta t)$ por t , esta equação fica

$$I_e(t) = G_e e_{km}(t) + i_{km}(t) \quad (14)$$

donde eliminando-se $i_{km}(t)$ resulta

$$I_e(t) = 2G_e e_{km}(t) - I_e(t - \Delta t) \quad (15)$$

1.4 Resistência.

Para a resistência da fig. 4,

$$i_{km}(t) = G_R e_{km}(t)$$

onde

$$G_R = \frac{1}{R}$$

1.5 Equações Nodais.

Com todos os elementos do sistema substituídos por seus circuitos equivalentes, se podem estabelecer as equações nodais,

que irão descrever o estado do sistema em qualquer tempo t :

$$[G] [e(t)] = [i(t)] - [I] \quad (16)$$

com,

$[G]$ = matriz condutância nodal,

$[e(t)]$ = vetor coluna das tensões nodais no tempo t ;

$[i(t)]$ = vetor coluna das correntes injetadas no tempo t
(fonte de correntes especificadas);

$[I]$ = vetor coluna de valores históricos.

A matriz condutância $[G]$ é real, simétrica e constante (uma vez que Δt é fixo).

A eq. (16), onde uma parte das tensões são conhecidas (excitações especificadas), pode ser reescrita do seguinte modo:

$$\begin{bmatrix} [G_{AA}] & [G_{AB}] \\ [G_{BA}] & [G_{BB}] \end{bmatrix} \begin{bmatrix} [e_A(t)] \\ [e_B(t)] \end{bmatrix} = \begin{bmatrix} [i_A(t)] \\ [i_B(t)] \end{bmatrix} - \begin{bmatrix} [I_A] \\ [I_B] \end{bmatrix}$$

Sendo os subvetores $[e_A(t)]$ e $[e_B(t)]$ constituídos exclusiva e respectivamente das tensões desconhecidas e conhecidas. Os demais subvetores e as submatrizes são conseqüências da reordenação e da partição por que passaram a matriz e os vetores originais. É claro que $[e_A(t)]$ pode ser determinado resolvendo-se

UNIVERSIDADE FEDERAL DA PARAÍBA
Pró-Reitoria Para Assuntos do Interior
Coordenação Setorial de Pós-Graduação
Rua Aprígio Veloso, 882 - Tel (083) 321-7222-R 355
58.100 - Campina Grande - Paraíba

$$[G_{AA}] [e_A(t)] = [I_{total}] \quad (17)$$

sendo

$$[I_{total}] = [i_A(t)] - [I_A] - [G_{AB}] [e_B(t)] \quad (18)$$

O problema de cálculo de transitórios eletromagnéticos se reduz assim, a resolução de um sistema de equações lineares com coeficientes constantes a cada intervalo de tempo Δt . Devendo $[I_{total}]$, ser recalculado a cada passo. *XF*

Obs:
1.6 Considerações sobre as Perdas numa linha.

Numa linha real de potência, as perdas são praticamente devidas a resistência série distribuída. A condutância em derivação usualmente é desprezível, sempre que o efeito corona não é levado em conta.

Uma linha com extensão d , resistência série R' por unidade de comprimento, e condutância shunt nula, pode ser tratada como uma linha sem perdas, aos terminais da qual é adicionado resistências concentradas de valor

$$R = \frac{R'd}{2}$$

Este procedimento, apesar de simples, dá resultados satisfatórios. Tais resistências concentradas podem ser inseridas

também em outros pontos da linha, quando ela é dividida em várias secções. Entretanto, nenhuma diferença substancial ocorre quando o número de resistências inseridas é menor ou maior. Esta é a conclusão de DOMMEL (1969), após calcular as sobretensões em uma linha, inserindo resistências em 3, 65 e 300 lugares. Nos três casos, os gráficos de tensão obtidos mostraram-se praticamente idênticos. / OBS F

2. Simulação de Chaveamentos.

É possível simular elementos tais como disjuntores e *gaps* presentes ao sistema, por chaves ideais (resistência nula quando fechada e infinita quando aberta). As propriedades físicas destes elementos podem ser levadas em conta, conectando-se ramos em série ou em paralelo com a chave. A mudança de posição destas chaves obedecem naturalmente a diferentes critérios. A abertura de um disjuntor, por exemplo, pode ocorrer segundo um critério de tempo ou de corrente. Já o fechamento da chave que simula a descarga em um *gap*, acontece de acordo com um critério de tensão. Isto é, a chave fecha quando a tensão no *gap* ultrapassa sua tensão de centelhamento. Portanto, um método para simulação do fechamento ou abertura de uma chave deve estar apto a considerar diferentes critérios. Dois destes métodos são apresentados a seguir. X F

2.1 Método da Tensão de Cancelamento.

Se há somente uma chave no sistema, que seja entre os nós k e m , seu fechamento pode ser simulado (NAIDU, 1979) do seguinte modo:

- a - Com a chave ($k - m$) aberta, determina-se para $t > 0$, as tensões em todos os nós, e entre os contactos da chave:

$$e_{km}^0(t) = e_k^0(t) - e_m^0(t)$$

- b - Com todas as fontes removidas, aplica-se uma tensão $-e_{km}^0(t)$ entre os contatos da chave. Calcula-se as tensões e correntes transitórias devidas a esta excitação.
- c - Superpondo-se as tensões calculadas nos itens anteriores, se obtém as tensões transitórias após o fechamento da chave.

Este método é inconveniente para simular o fechamento sequencial de várias chaves. Como, por exemplo, um único disjuntor trifásico, se constitui de pelo menos seis chaves, o método é praticamente inviável.

2.2 Método da Modificação da Matriz Condutância.

Uma alternativa para o método da tensão de cancelamento é construir $[G_{AA}]$ novamente, sempre que alguma chave mude de po-

sição. De fato, estas reconstruções são desnecessárias. Em vez disto $[G_{AA}]$ inicialmente formada com todas as chaves abertas, se modifica sistematicamente a medida que ocorram chaveamentos.

Se há uma chave entre os nós k e m de tensões desconhecidas, então estes nós figuram na matriz $[G_{AA}]$, enquanto a chave está aberta; quando ocorre o fechamento, eles tornam-se comuns, e $[G_{AA}]$ modifica-se do seguinte modo:

- a - as filas (linhas e colunas) m são adicionadas as filas k ;
- b - as filas m são suprimidas;
- c - a ordem de $[G_{AA}]$ é reduzida de n para $n - 1$.

XF

3. Extensão do Método de Dommel a Sistemas Polifásicos.

A computação de transitórios eletromagnéticos em sistemas polifásicos pode ser feito como se faz para circuitos monofásicos, substituindo-se formalmente as quantidades escalares por quantidades matriciais. Esta generalização é imediata para indutância e capacitância concentradas, com acoplamento entre fases. Para linhas de transmissão polifásicas, as grandezas de fase acopladas são transformadas em *grandezas modais* desacopladas e cada modo é resolvido com as mesmas equações que foram desenvolvidas para linhas monofásicas. XF

A teoria de transformação modal é válida para sistemas com qualquer número de fases. XA seguir, ela é aplicada a uma linha trifásica, por ser de interesse prático. XF

3.1 Elementos com Parâmetros Concentrados.

Considerando-se que o ramo trifásico mostrado na fig. 5, tem indutância $[L]$, então

$$[e_{km}(t)] = [L] \left[\frac{di_{km}(t)}{dt} \right] \quad (19)$$

onde,

$$[e_{km}(t)] = \begin{bmatrix} e_{km}^a(t) \\ e_{km}^b(t) \\ e_{km}^c(t) \end{bmatrix}$$

é o vetor das tensões em cada fase; e

$$\left[\frac{di_{km}(t)}{dt} \right] = \begin{bmatrix} \frac{di_{km}^a(t)}{dt} \\ \frac{di_{km}^b(t)}{dt} \\ \frac{di_{km}^c(t)}{dt} \end{bmatrix}$$

é vetor das derivadas das correntes em cada fase com relação ao tempo.

A matriz indutância tem a forma

$$[L] = \begin{bmatrix} L_s & L_m & L_m \\ L_m & L_s & L_m \\ L_m & L_m & L_s \end{bmatrix}$$

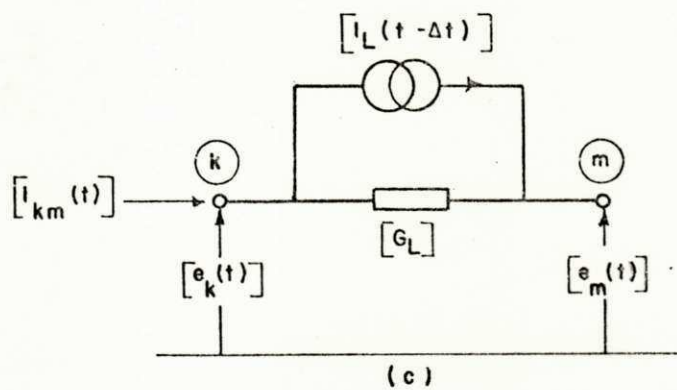
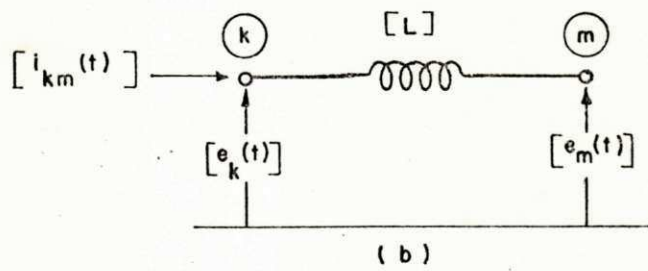
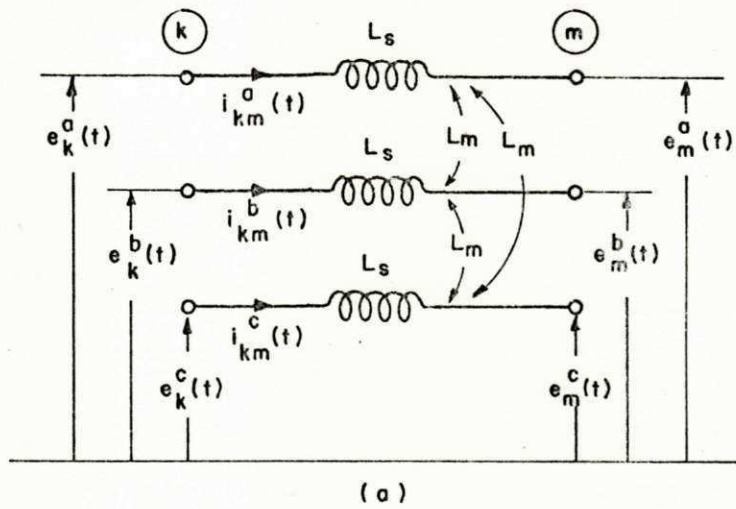


Fig. 5 - (a) Elemento trifásico; fases acopladas magnéticamente.
 (b) Representação Simplificada. (b) Circuito equivalente.

L_s é a indutância própria e L_m a indutância mútua do elemento. Se $[L]$ não é diagonal ($L_m \neq 0$), há acoplamento entre as fases do elemento, isto é, a tensão em uma fase depende das tensões nas outras.

Utilizando a regra do trapézio para integrar (19) se obtém

$$[i_{km}(t)] = [G_L] [e_{km}(t)] + [I_L(t - \Delta t)]$$

sendo

$$[G_L] = \frac{\Delta t}{2} [L]^{-1} \quad (20)$$

e

$$[I_L(t - \Delta t)] = [G_L] [e_{km}(t - \Delta t)] + [i_{km}(t - \Delta t)]$$

Trocando-se a variável $(t - \Delta t)$ por t se chega a

$$[I_L(t)] = [G_L] [e_{km}(t)] + [i_{km}(t)] \quad (21)$$

logo

$$[I_L(t)] = 2 [G_L] [e_{km}(t)] + [I_L(t - \Delta t)] \quad (22)$$

A semelhança entre as equações da secção 1.2 e as equações acima é evidente. A diferença é que nestas se tem matri-

zes correspondendo aos escalares que aparecem naquelas. Na construção das matrizes $[G_{AA}]$ e $[G_{AB}]$, eq. (17), uma matriz $[G_L]$ é introduzida em vez de um escalar. Também a cada passo, o vetor $[i_{km}(t)]$ entra na formação de $[I_{total}]$ em vez do escalar $i_{km}(t)$.

Raciocínio análogo a este, conduz a conclusão que todas as equações obtidas para elemento concentrado monofásico, continuam realmente válidas se o elemento for trifásico, se as variáveis são interpretadas como matrizes.

3.2 Linha Trifásica sem Perdas.

As equações (1) também são válidas para linhas polifásicas, desde que os escalares sejam substituídos por vetores $[e]$, $[i]$ e matrizes $[L]$, $[C]$. Assim, as equações correspondentes aquelas são:

$$-\frac{\partial}{\partial x} [e] = [L] \frac{\partial}{\partial t} [i] \quad (23a)$$

$$-\frac{\partial}{\partial x} [i] = [C] \frac{\partial}{\partial t} [e] \quad (23b)$$

donde,

$$\frac{\partial^2 [e]}{\partial x^2} = [L] [C] \frac{\partial^2 [e]}{\partial t^2}$$

$$\frac{\partial^2 [i]}{\partial x^2} = [L] [C] \frac{\partial^2 [i]}{\partial t^2}$$

A solução destas equações é complicada devido a presença de elementos fora das diagonais das matrizes, consequentes do acoplamento entre as fases. Esta dificuldade é contornada, transformando-se as variáveis de fase em variáveis modais através de transformações que produzam matrizes diagonais nas equações modais. Cada uma das equações independentes no domínio modal podem ser resolvidas com o algoritmo desenvolvido para linha monofásica, usando-se o *tempo de trânsito modal* e a *impedância de surto modal*.

As matrizes de transformação, de modo geral são diferentes para tensão e corrente, isto é,

$$[E] = [S] [V] \quad (24a)$$

$$[I] = [Q] [J] \quad (24b)$$

onde

$[E]$ = Vetor tensão de fase,

$[I]$ = Vetor corrente de fase,

$[V]$ = Vetor tensão modal,

$[J]$ = Vetor corrente modal.

Se todos os elementos diagonais $[L]$ são iguais a L_s e os não diagonais são iguais a L_m (analogamente para C), então uma transformação única é possível:

$$[S] = [Q] = \begin{bmatrix} 1 & 1 & 1 & \dots & 1 \\ 1 & (1-M) & 1 & \dots & 1 \\ 1 & 1 & (1-M) & \dots & 1 \\ \dots & \dots & \dots & \dots & \dots \\ 1 & 1 & 1 & & (1-M) \end{bmatrix}$$

onde M é o número de fases. Sua inversa é simples:

$$[S]^{-1} = [Q]^{-1} = \frac{1}{M} \begin{bmatrix} 1 & 1 & 1 & \dots & 1 \\ 1 & -1 & 0 & \dots & 0 \\ 1 & 0 & -1 & \dots & 0 \\ \dots & \dots & \dots & \dots & \dots \\ 1 & 0 & 0 & & -1 \end{bmatrix}$$

Para circuitos trifásicos portanto,

$$[S] = [Q] = \begin{bmatrix} 1 & 1 & 1 \\ 1 & -2 & 1 \\ 1 & 1 & -2 \end{bmatrix} \quad (25a)$$

$$[S]^{-1} = [Q]^{-1} = \frac{1}{3} \begin{bmatrix} 1 & 1 & 1 \\ 1 & -1 & 0 \\ 1 & 0 & -1 \end{bmatrix} \quad (25b)$$

Com estas transformações, as equações diferenciais (23) tornam-se:

$$-\begin{bmatrix} \frac{\partial V_0}{\partial x} \\ \frac{\partial V_1}{\partial x} \\ \frac{\partial V_2}{\partial x} \end{bmatrix} = \begin{bmatrix} L_s + 2L_m & 0 & 0 \\ 0 & L_s - L_m & 0 \\ 0 & 0 & L_s - L_m \end{bmatrix} \begin{bmatrix} \frac{\partial J_0}{\partial t} \\ \frac{\partial J_1}{\partial t} \\ \frac{\partial J_2}{\partial t} \end{bmatrix} \quad (26a)$$

$$-\begin{bmatrix} \frac{\partial J_0}{\partial x} \\ \frac{\partial J_1}{\partial x} \\ \frac{\partial J_2}{\partial x} \end{bmatrix} = \begin{bmatrix} C_s + 2C_m & 0 & 0 \\ 0 & C_s - C_m & 0 \\ 0 & 0 & C_s - C_m \end{bmatrix} \begin{bmatrix} \frac{\partial V_0}{\partial t} \\ \frac{\partial V_1}{\partial t} \\ \frac{\partial V_2}{\partial t} \end{bmatrix} \quad (26b)$$

Para linha trifásica balanceada, os parâmetros de modos zero, um e dois são idênticos, aos parâmetros de sequência zero, positiva e negativa, respectivamente.

Das equações (26), graças à diagonalidade das matrizes $[L]$ e $[C]$, se pode tirar três pares de equações, cada qual envolvendo apenas variáveis do mesmo modo, isto é,

$$-\frac{\partial V_0}{\partial x} = (L_s + 2L_m) \frac{\partial J_0}{\partial t}$$

$$-\frac{dJ_0}{dx} = (C_s + 2C_m) \frac{dV_0}{dt}$$

$$-\frac{dV_1}{dx} = (L_s - L_m) \frac{dJ_1}{dt}$$

UNIVERSIDADE FEDERAL DA PARAÍBA
Pró-Reitoria Para Assuntos do Interior
Coordenação Setorial de Pós-Graduação
Rua Aprígio Veloso, 882 - Tel (083) 321-7222-R 355
58.100 - Campina Grande - Paraíba

$$- \frac{dJ_1}{dx} = (c_s - c_m) \frac{dV_1}{dt}$$

$$- \frac{dV_2}{dx} = (L_s - L_m) \frac{dJ_2}{dt}$$

$$- \frac{dJ_2}{dx} = (c_s - c_m) \frac{dV_2}{dt}$$

que são análogas a (1). Portanto a linha trifásica pode ser tratada como três linhas monofásicas independentes. Deste modo, conforme as equações (7),

$$j_{km}^0(t) = \frac{1}{Z_0} v_k^0(t) - J_k^0(t - \tau_0) \quad (27a)$$

$$j_{km}^1(t) = \frac{1}{Z_1} v_k^1(t) - J_k^1(t - \tau_1) \quad (27b)$$

$$j_{km}^2(t) = \frac{1}{Z_2} v_k^2(t) - J_k^2(t - \tau_2) \quad (27c)$$

$$j_{mk}^0(t) = \frac{1}{Z_0} v_m^0(t) - J_m^0(t - \tau_0) \quad (28a)$$

$$j_{mk}^1(t) = \frac{1}{Z_1} v_m^1(t) - J_m^1(t - \tau_1) \quad (28b)$$

$$j_{mk}^2(t) = \frac{1}{Z_2} v_m^2(t) - J_m^2(t - \tau_2) \quad (28c)$$

onde, de acordo com a equação (3)

$$Z_0 = \sqrt{\frac{L_s + 2L_m}{C_s + 2C_m}} \quad (29a)$$

$$Z_1 = Z_2 = \sqrt{\frac{L_s - L_m}{C_s - C_m}} \quad (29b)$$

são as impedâncias de surto modais da linha.

$$\tau_0 = d \sqrt{(L_s + 2L_m)(C_s + 2C_m)} \quad (30a)$$

$$\tau_1 = \tau_2 = d \sqrt{(L_s - L_m)(C_s - C_m)} \quad (30b)$$

são os tempos de trânsito modais.

Em forma matriciais (27) e (28) são:

$$\begin{bmatrix} j_{km}^0(t) \\ j_{km}^1(t) \\ j_{km}^2(t) \end{bmatrix} = \begin{bmatrix} 1/Z_0 & 0 & 0 \\ 0 & 1/Z_1 & 0 \\ 0 & 0 & 1/Z_2 \end{bmatrix} \begin{bmatrix} v_k^0(t) \\ v_k^1(t) \\ v_k^2(t) \end{bmatrix} = \begin{bmatrix} J_k^0(t - \tau_0) \\ J_k^1(t - \tau_1) \\ J_k^2(t - \tau_2) \end{bmatrix}$$

$$\begin{bmatrix} j_{mk}^0(t) \\ j_{mk}^1(t) \\ j_{mk}^2(t) \end{bmatrix} = \begin{bmatrix} 1/Z_0 & 0 & 0 \\ 0 & 1/Z_1 & 0 \\ 0 & 0 & 1/Z_2 \end{bmatrix} \begin{bmatrix} v_m^0(t) \\ v_m^1(t) \\ v_m^2(t) \end{bmatrix} = \begin{bmatrix} J_m^0(t - \tau_0) \\ J_m^1(t - \tau_1) \\ J_m^2(t - \tau_2) \end{bmatrix}$$

isto é

$$[j_{km}(t)] = [Z]^{-1} [v_k(t)] - [J_k(t - \tau)] \quad (31a)$$

$$[j_{mk}(t)] = [Z]^{-1} [V_m(t)] - [J_m(t - \tau)] \quad (31b)$$

Retornando-se ao domínio da fase, através das transformações expressas pela equação (24), se chega a

$$[i_{km}(t)] = [Z_f]^{-1} [e_k(t)] - [I_k(t - \tau)] \quad (32a)$$

$$[i_{mk}(t)] = [Z_f]^{-1} [e_m(t)] - [I_m(t - \tau)] \quad (32b)$$

onde

$$[Z_f]^{-1} = [S] [Z]^{-1} [S]^{-1} \quad (33)$$

é a matriz admitância de surto equivalente da linha, e

$$[I_k(t - \tau)] = [S] [J_k(t - \tau)]$$

$$[I_m(t - \tau)] = [S] [J_m(t - \tau)]$$

As equações (7) e (32) são similares. As demais equações da linha monofásica se adaptam também a linha trifásica, desde que os escalares sejam substituídos por matrizes. Assim,

$$[I_k(t)] = [Z_f]^{-1} [e_m(t)] + [i_{mk}(t)] \quad (34a)$$

$$[I_m(t)] = [Z_f]^{-1} [e_k(t)] + [i_{km}(t)] \quad (34b)$$

$$\left[I_k(t) \right] = Z \left[Z_f \right]^{-1} \left[e_m(t) \right] - \left[I_m(t - \tau) \right] \quad (35a)$$

$$\left[I_m(t) \right] = Z \left[Z_f \right]^{-1} \left[e_k(t) \right] - \left[I_k(t - \tau) \right] \quad (35b)$$

XF

4. Energização de uma linha Trifásica.

Como uma primeira aplicação do método de Dommel, considere-se a energização da linha de transmissão *Jaguara-Taquaril*. Os resultados desta operação foram reproduzidos através de computador digital por CUNHA & DOMMEL (1973), utilizando um programa desenvolvido pela BPA (Bonneville Power Administration).

Com esta revisão se pretende, primeiro, compreender melhor como efetivamente funciona o método de Dommel. Segundo, desenvolver algumas subrotinas que possam ser empregadas em estudos posteriores.

4.1 Características da Linha e Circunstâncias da Energização.

Jaguara-Taquaril é uma linha transporta de 345 KV, com 398 km de extensão e constituída de condutores geminados (2 x 954 MCM-ACSR). Seus parâmetros nas frequências de 60 Hz, apresentados na tab. 1, foram calculados, supondo-se uma resistividade média do solo de 100 Ω .m.

A reatância de sequência negativa dos geradores e transformadores elevadores em Jaguara, é suposta igual a de sequência

PARÂMETRO	UNIDADE	SEQUÊNCIA	POSITIVA	SEQUÊNCIA	ZERO
		NOTAÇÃO	VALOR	NOTAÇÃO	VALOR
Resistência	Ω / km	R_1	0,03419	R_0	0,32183
Reatância	Ω / km	X_1	0,37478	X_0	1,26693
Capacitância	$\mu\text{F} / \text{km}$	C_1	0,01180	C_0	0,00800

Tab. 1. Parâmetros da Linha Jaguara-Taquaril (DOMMEL & CUNHA, 1973).

FASE	CONTATO	
	AUXILIAR	PRINCIPAL
A	8.45	15.85
B	7.15	14.45
C	8.10	15.10

Tab. 2 Energização da Linha Jaguara-Taquaril. Tempos de fechamento em ms, dos contatos do disjuntor (DOMMEL & CUNHA, 1973).

positiva (X_1), calculada em 99,6 ohm, a 60 Hz. A reatância de sequência zero (X_0) dos transformadores a 60 Hz, é de 33,76 ohm. As reatâncias própria (X_s) e mútua (X_m) equivalentes a estes valores são respectivamente, 77,65 ohm e 21,95 ohm. Uma vez que

$$X_s = \frac{1}{3} (X_0 + 2X_1) \quad (36a)$$

$$X_m = \frac{1}{3} (X_0 - X_1) \quad (36b)$$

A linha está em vazio (fig. 6) e imediatamente antes da energização, a tensão é 328 KV, ou seja, 0,95 p.u. Esta é a tensão atrás da reatância subtransitória. Tomando como tempo inicial, aquele em que a tensão na fase a passa por zero, indo para valores negativos, a fonte tem f.e.m. dada por:

$$e_a = 0,95 \cos (\omega t + \pi/2) \text{ p.u.} \quad (37a)$$

$$e_b = 0,95 \cos (\omega t - \pi/6) \text{ p.u.} \quad (37b)$$

$$e_c = 0,95 \cos (\omega t + 7\pi/6) \text{ p.u.} \quad (37c)$$

De acordo com este mesmo referencial de tempo, os instantes dos fechamentos dos contatos do disjuntor são aqueles da tab. 2. Este disjuntor tem resistores de preinserção de 400 ohm por polo.

O reator trifásico de 440 KV, 91 MVar, 60 Hz instalado em Jaguará tem reatância de sequência positiva

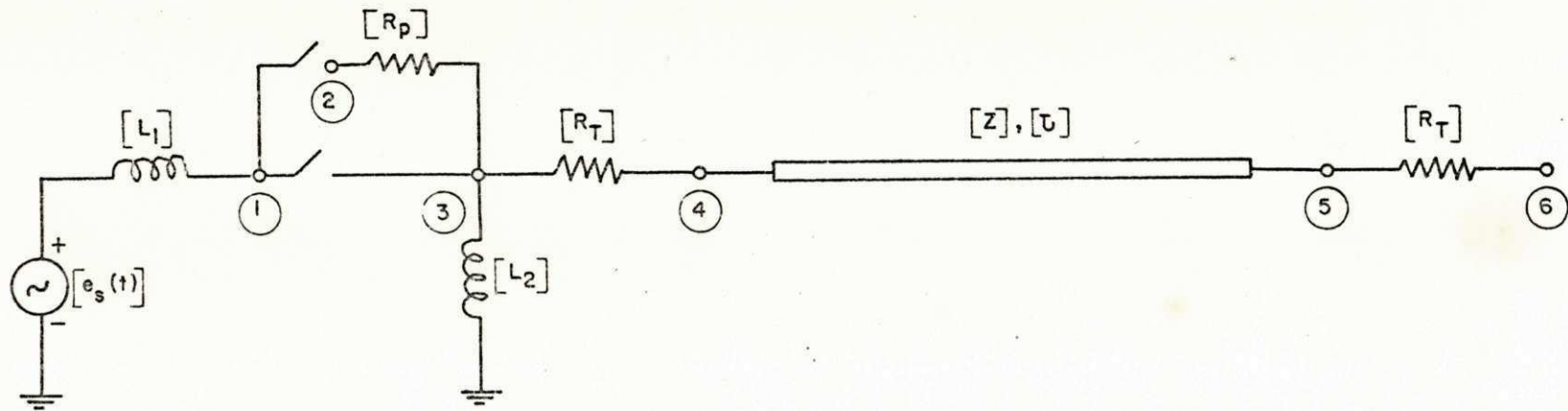


Fig. 6 - Sistema Jaguar-Taquaril.

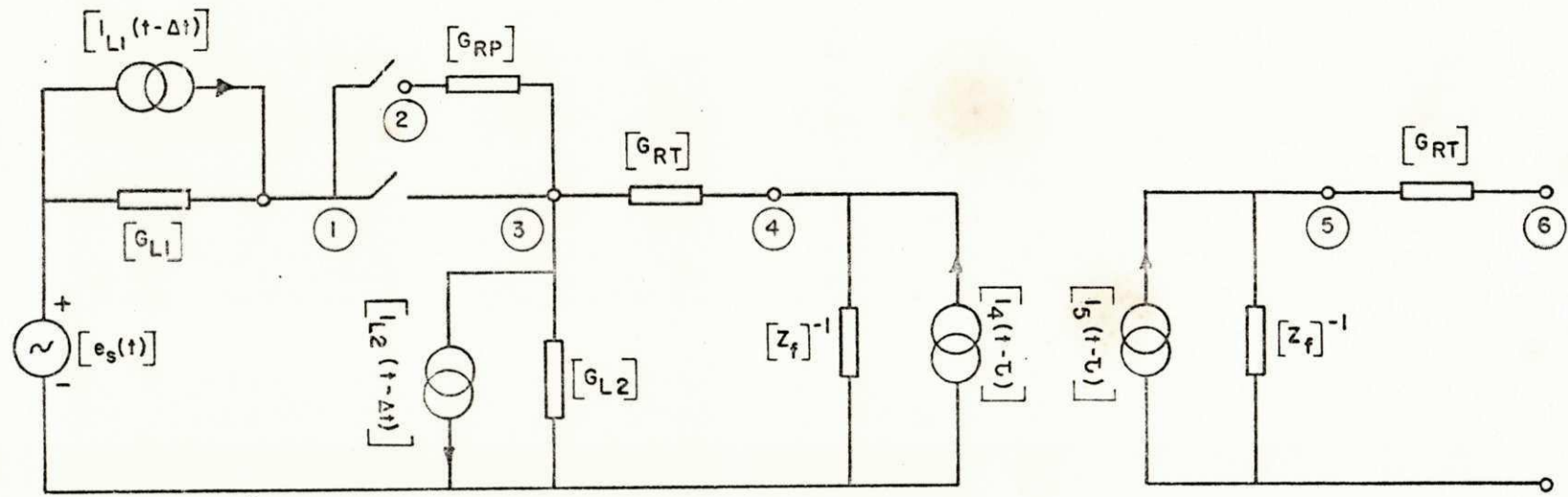


Fig. 7 - Circuito Equivalente ao Sistema Jaguar-Taquaril.

$$X_1 = \frac{(440 \cdot 10^3)^2}{91 \cdot 10^6} = 2127 \Omega$$

Supondo a reatância de sequência zero igual a 35% deste valor, isto é, $X_0 = 744 \Omega$, a reatância própria desse reator é 1666Ω e a reatância mútua -461Ω (conforme as equações (36)).

4.2 Circuito Equivalente e suas Equações.

UNIVERSIDADE FEDERAL DA PARAÍBA
Pró-Reitoria Para Assuntos do Interior
Coordenação Setorial de Pós-Graduação
Rua Aprígio Veloso, 882 Tel (083) 321-7222-R 355
58.100 - Campina Grande - Paraíba

Na fig. 7 é visto o circuito equivalente ao sistema em questão (fig. 6). As equações nodais deste circuito são imediatas, pelo menos para os nós 1, 2 e 3:

$$[G_{L1}] [e_1(t)] = [I_{L1}(t - \Delta t)] + [G_{L1}] [e_s(t)] \quad (38a)$$

$$[G_{RP}] [e_2(t)] - [G_{RP}] [e_3(t)] = [0] \quad (38b)$$

$$- [G_{RP}] [e_2(t)] + \{ [G_{RP}] + [G_{L2}] + [G_{RT}] \} [e_3(t)] - [G_{RT}] [e_4(t)] = - [I_{L2}(t - \Delta t)] \quad (38c)$$

A tensão dos nós 5 e 6 são sempre iguais, uma vez que entre eles há apenas um elemento concentrado e a linha está em vazio. Assim, o nó 6 pode ser excluído da análise.

Nos nós 4 e 5 se tem respectivamente que

$$- [G_{RT}] [e_3(t)] + [G_{RT}] [e_4(t)] + [i_{45}(t)] = [0]$$

$$[i_{54}(t)] = [0]$$

Conforme as equações (32),

$$[i_{45}(t)] = [z_f]^{-1} [e_4(t)] - [I_4(t - \tau)]$$

$$[i_{54}(t)] = [z_f]^{-1} [e_5(t)] - [I_5(t - \tau)]$$

logo,

$$-[G_{RT}] [e_3(t)] + ([G_{RT}] + [z_f]^{-1}) [e_4(t)] = [I_4(t - \tau)] \quad (38d)$$

e

$$[z_f]^{-1} [e_5(t)] = [I_5(t - \tau)]$$

Evidentemente, em todas as equações acima $[z_f]^{-1}$ e as condutâncias ($[G]$) são matrizes de ordem 3x3; as tensões e correntes são vetores de ordem 3.

Estruturando matricialmente as equações (38) se chega a equação (39), que é a versão trifásica da equação (17), correspondente ao sistema em estudo.

$$[G_{AA}] = \begin{bmatrix} [G_{L1}] & [0] & [0] & [0] & [0] \\ [0] & [G_{RP}] & -[G_{RP}] & [0] & [0] \\ [0] & -[G_{RP}] & [G_{RP}] + [G_{L2}] + [G_{RT}] & -[G_{RT}] & [0] \\ [0] & [0] & -[G_{RT}] & [G_{RT}] + [z_f]^{-1} & [0] \\ [0] & [0] & [0] & [0] & [z_f]^{-1} \end{bmatrix} \quad (39)$$

$$[I_{\text{total}}] = \begin{bmatrix} [I_{L1}(t - \Delta t)] + [G_{L1}] [e_s(t)] \\ [0] \\ -[I_{L2}(t - \Delta t)] \\ [I_4(t - \tau)] \\ [I_5(t - \tau)] \end{bmatrix} \quad (40)$$

Todos os parâmetros do circuito equivalente a Jaguara-Taquaril (fig. 7), excluindo-se naturalmente as matrizes correspondentes às perdas $[G_{AT}]$ e às resistências de preinserção $[G_{RP}]$ dependem do intervalo base de tempo Δt ; escolhendo-o igual a 0,34 ms, estes parâmetros assumem os valores apresentados na tab. 3. Nesta mesma tabela estão inclusos, os valores da impedância de surto e tempos de trânsito modais.

De posse dos valores das matrizes elementares, se tem o da matriz condutância do sistema $[G_{AA}]$.

4.3 Cálculo das Tensões nos extremos da Linha.

Até que ocorra o fechamento do primeiro contacto do disjuntor, não haverá nenhuma corrente no circuito e as tensões nodais serão todas nulas, exceto $[e_1(t)]$ que será igual a $[e_s(t)]$ (especificada pelas equações (37)). Assim, os valores iniciais de todas as fontes de correntes são zero.

Após o primeiro fechamento, do contacto (1b-2b), as tensões $e_2^b(t)$, $e_3^b(t)$ e $e_4^b(t)$ não são mais zero, nem $e_1^b(t)$ é igual a $e_s^b(t)$. Mesmo assim, $[e_5(t)]$ permanece nula, já que a onda de tensão leva algum tempo para chegar ao nó 5. Do mesmo modo $[I_5(t-\tau)]$

PARÂMETRO	UNID.	VALOR			
		PRÓPRIO	MÚTUO	DE MODO ZERO	DE MODO UM
$[G_{L1}]$	mho	$1,061 \times 10^{-3}$	$0,418 \times 10^{-3}$		
$[G_{L2}]$	mho	$4,880 \times 10^{-5}$	$1,867 \times 10^{-5}$		
$[G_{RP}]$	mho	$2,5 \times 10^{-3}$	0		
$[G_{RT}]$	mho	0,1032	0,0438		
$[Z_f]^{-1}$	mho	$2,813 \times 10^{-3}$	$-0,635 \times 10^{-3}$		
$[Z]$	ohm			648	290
τ	-			6	4

Tab. 3 Valores dos parâmetros do circuito equivalente a Jaguara-Taquaril (fig. 7). $\Delta t = 0,34$ ms.

continua igual a zero. A corrente $[i_{54}(t)]$ é sempre zero.

A verificação de particularidades como estas, durante os cálculos, ajuda a garantir que os mesmos se desenvolvem satisfatoriamente.

O valor das fontes de correntes que entram na formação de $[I_{total}]$ são calculados através das fórmulas recursivas (22) e (33), isto é, especificamente,

$$[I_{L1}(t)] = 2 [G_{L1}] \left([e_s(t)] - [e_1(t)] \right) + [I_{L1}(t - \Delta t)] \quad (41a)$$

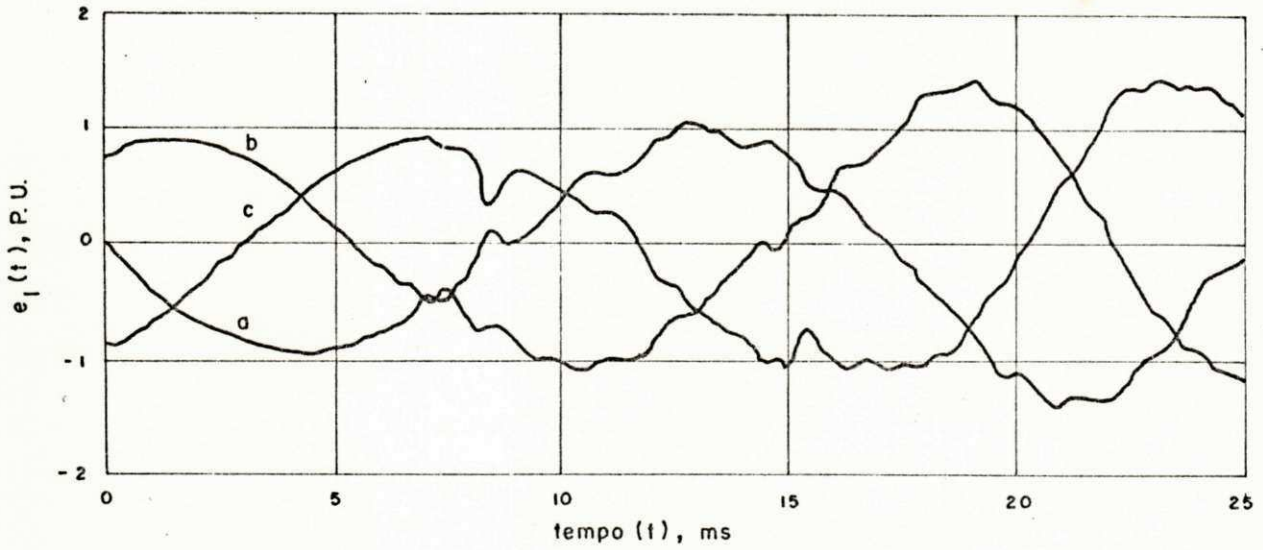
$$[I_{L2}(t)] = 2 [G_{L2}] [e_1(t)] - [I_{L2}(t - \Delta t)] \quad (41b)$$

$$[I_4(t)] = 2 [Z_f]^{-1} [e_5(t)] - [I_5(t - \tau)] \quad (41c)$$

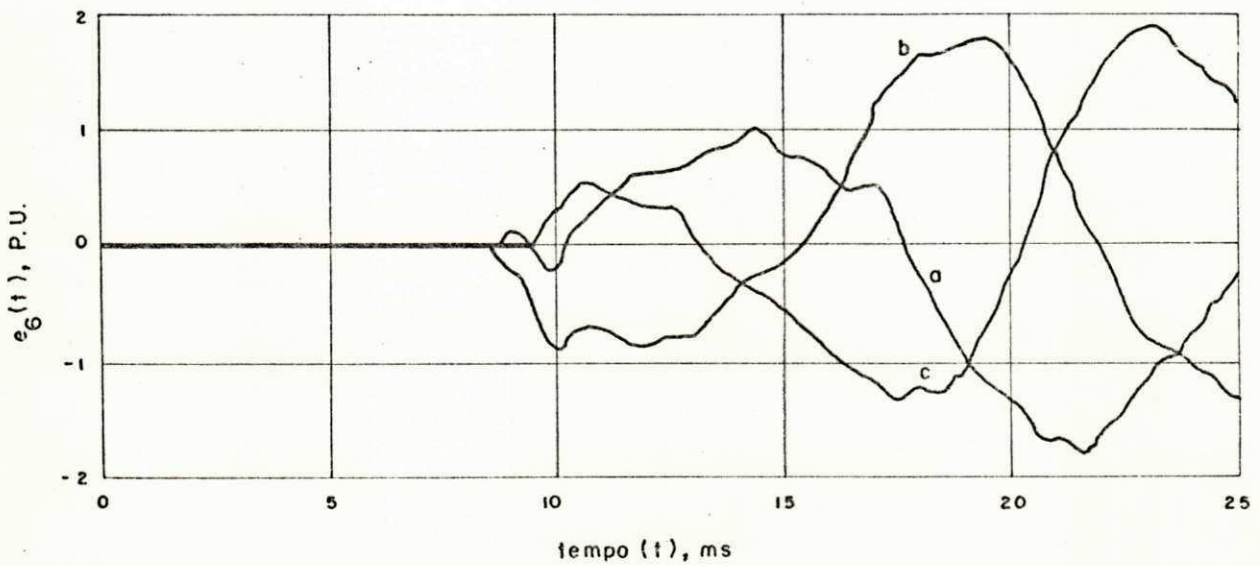
$$[I_5(t)] = 2 [Z_f]^{-1} [e_4(t)] - [I_4(t - \tau)] \quad (41d)$$

Depois de formado $[I_{total}]$, a equação (17) é resolvida, para que as tensões sejam determinadas. Antes, porém, se acontece mudança de posição de alguma chave, $[G_{AA}]$ e $[I_{total}]$ são modificadas conforme algoritmo da secção 2.2. Após a determinação das tensões nodais, os valores históricos são atualizados. Passa-se, então, ao próximo intervalo de tempo, repetindo-se o procedimento adotado no passo anterior.

A fig. 8 mostra as tensões em Jaguara, $[e_4(t)]$ e em Taquaril, $[e_5(t)]$, em função do tempo. Este resultado é idêntico ao apresentado por CUNHA & DOMMEL (1973), apesar de não se haver considerado aqui, a saturação do núcleo do reator.



(a)



(b)

Fig. 8 - Energização da Linha Jaguara-Taquaril.

(a) Tensão em Jaguara; (b) Tensão em Taquaril. Base: $345\sqrt{2} / \sqrt{3}$ kV.

CAPÍTULO III

ASPECTOS PRÁTICOS DO MÉTODO DE DOMMEL

1. Esparsidade da Matriz Condutância.

A matriz condutância de qualquer sistema trifásico é bastante esparsa. $[G_{AA}]$ de Jaguara-Taquaril, eq. (II-39), por exemplo, tem mais de 77% dos elementos, nulos. Ainda que esta esparsidade não seja explorada como sugere TINNEY & WALKER (1967), alguma providência deve ser tomada, no sentido de reduzir o esforço computacional despendido no cálculo dos Transitórios.

Ao eliminarem-se nós do circuito, a esparsidade, além da própria dimensão de $[G_{AA}]$ diminuem. Isto pode ser enfatizado considerando-se o sistema da fig. 2. Levando em conta todos os nós daquele sistema, sua matriz condutância tem cerca de 85% dos elementos, nulos. Este índice cai para próximo de 75%, ao eliminarem-se os nós 5, 6, 7 e 8. Enquanto isto, a dimensão da referida matriz diminui para a metade da dimensão inicial.

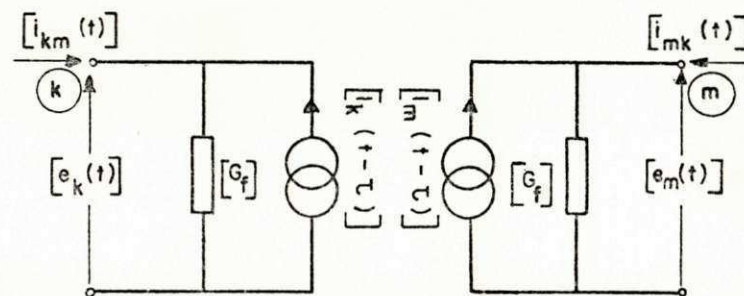
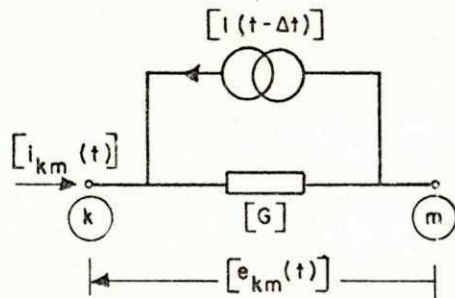
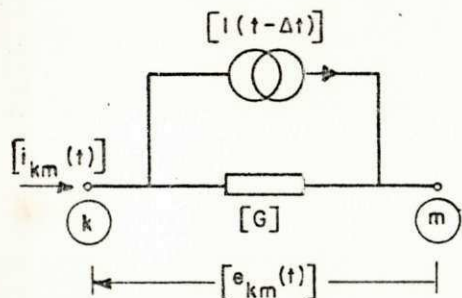
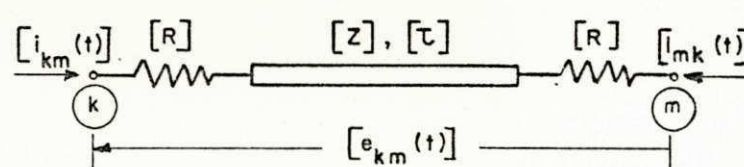
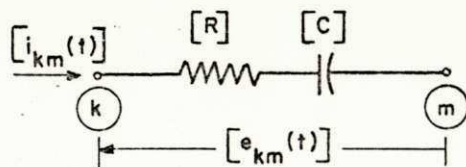
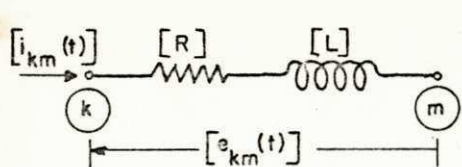
2. Redução do Número de Nós.

Numa associação RL série que representa um reator (R significando as perdas), por exemplo, o nó entre o resistor e o indutor é artificial. Nunca há interesse em se conhecer a tensão nesse nó. Sua eliminação é portanto possível, e conveniente, uma vez que torna $[G_{AA}]$ menor e mais compacta. Eliminar um nó consiste simplesmente em ignorá-lo e obter relações diretas entre as tensões e correntes dos nós vizinhos a eles.

A tab. 1 apresenta os circuitos equivalentes a indutância, capacitância e linha trifásicas com resistência série. As equações que lá aparecem são consequências de simples manipulações algébricas daquelas deduzidas no capítulo anterior. Com respeito às equações da linha, as matrizes com índice f são parâmetros equivalentes no domínio da fase. $[U]$ é a matriz identidade. $[S]$ e $[S]^{-1}$ correspondem às transformações modais, definidas pelas equações (II-25). As demais matrizes são parâmetros modais.

$$[R] = \frac{d}{2} [R']$$

onde d é o comprimento da linha e $[R']$ a matriz de resistência modal (que é igual a de sequência), em Ω/km . $[G]$ é a matriz condutância modal. $[H]$ e $[G']$ são *fatores de ajustamento do efeito resistivo*. As equações da secção II-2 podem ser entendidas como as da tab. 1 particularizadas para $[R] = [0]$.



$$[G] = ([R] + \frac{2}{\Delta t} [L])^{-1}$$

$$[H] = [G] (\frac{2}{\Delta t} [L] - [R])$$

$$[i(t-\Delta t)] = [G] [e_{km}(t-\Delta t)] + [H] [i_{km}(t-\Delta t)]$$

$$[i(t)] = [G] ([H] + [U])$$

$$\cdot [e_{km}(t)] + [H] [i(t-\Delta t)]$$

$$[G] = ([R] + \frac{\Delta t}{2} [C]^{-1})^{-1}$$

$$[H] = [G] (\frac{\Delta t}{2} [C]^{-1} - [R])$$

$$[i(t-\Delta t)] = [G] [e_{km}(t-\Delta t)] + [H] [i_{km}(t-\Delta t)]$$

$$[i(t)] = [G] ([H] + [U])$$

$$\cdot [e_{km}(t)] - [H] [i(t-\Delta t)]$$

$$[G] = ([Z] + [R])^{-1}$$

$$[H] = [G] ([Z] - [R])$$

$$[G'] = [G] ([U] + [H])$$

$$[i_k(t-\tau)] = [G_f] [e_m(t-\tau)] + [H_f] [i_{mk}(t-\tau)]$$

$$[i_m(t-\tau)] = [G_f] [e_k(t-\tau)] + [H_f] [i_{km}(t-\tau)]$$

$$[J_k(t)] = [G'] [v_m(t)] - [H] [J_m(t-\tau)]$$

$$[J_m(t)] = [G'] [v_k(t)] - [H] [J_k(t-\tau)]$$

$$[G_f] = [S] [G] [S]^{-1}$$

$$[H_f] = [S] [H] [S]^{-1}$$

$$[G'_f] = [S] [G'] [S]^{-1}$$

Tab. 1 - Circuitos equivalentes a indutância, capacitância e linha trifásicas em série com resistências.

3. O Processo Computacional

A versão final do programa TRANAL, com o qual foram resolvidos os problemas de que trata este texto, é vista no apêndice. Nesta secção são feitas algumas considerações sobre ele.

TRANAL está em linguagem WATFIV-S, que apesar de mais lenta que o FORTRAN IV padronizado, dispõe de vários recursos que favoreceram a programação estruturada. Estes recursos foram aproveitados de modo que o programa pode ser adaptado com facilidade a outros estudos de transitórios. TRANAL pode simultaneamente, fazer vários estudos. Dependendo do estudo o tempo de processamento foi da ordem de 60 a 850 segundos. Algumas de suas subrotinas são auxiliares e servem para relatar resultados ou fazer advertências.

3.1 Valores Instantâneos das excitações do Sistema.

O sistema pode ser excitado por tensão, por corrente, ou por uma combinação de ambas. No programa TRANAL, estas fontes de tensão ou corrente são senoidais. Seus valores em cada instante são computados pela subrotina REGIME. Não haveria nenhuma dificuldade em se calcular estes valores instantâneos, se as excitações fossem ondas retangulares, triangulares, etc. Nos casos em que as excitações não possam se expressar facilmente através de uma função matemática, então os valores instantâneos devem ser lidos, passo a passo em um arquivo de entrada (cartões perfurados, fita magnética, etc).

3.2 Construção do Vetor $[I_{total}]$ e cálculo das Tensões Nodais.

Uma vez calculados, os valores das excitações ($[i_B(t)]$ e $[e_B(t)]$) são introduzidos no vetor $[I_{total}]$, de acordo com a eq. (II-18), a exemplo do que acontece com as informações históricas ($-[I_A]$). No programa TRANAL, a formação de $[I_{total}]$ é da competência do bloco CORIG.

A resolução da eq. (II-17) é análoga ao problema do fluxo de carga em regime permanente. Estes problemas diferem apenas quanto à natureza dos passos: enquanto no fluxo de carga há passos de iteração, se tem no cálculo de transitórios passos de tempo.

A melhor maneira de se resolver a eq. (II-17) é inicialmente se triangularizar a matriz $[G_{AA}]$ de uma vez por todas, até que ela sofra modificação, devido algum chaveamento. Em cada passo, a triangulação é estendida ao vetor $[I_{total}]$ e com a substituição regressiva (*backsubstitution*) se obtém $[e_A(t)]$. No programa TRANAL, o cálculo das tensões nodais fica a cargo de LUSOLV. Na saída desta subrotina, no espaço de memória antes ocupado por $[I_{total}]$ está armazenado $[e_A(t)]$. LUSOLV possui uma entrada auxiliar (ENTRY FWBWC), pela qual as repetições desnecessárias do pivotamento e da triangulação são evitadas. XF.

3.3 Determinação das Condições Iniciais.

Pela natureza recursiva do método, há necessidade de se conhecer o estado do sistema antes do tempo inicial; ou mais pre

cisamente: os valores das fontes de correntes dos circuitos equivalentes devem ser determinados antes mesmo de começar o cálculo dos transitórios eletromagnéticos. Na energização de Jaguara-Taquaril, estes valores são todos nulos. Noutros casos, estas informações, que constituem as *Condições Iniciais* do problema, não são conseguidas com tamanha facilidade. Entre estes casos está a desenergização de um reator shunt de alta tensão; problema capital neste trabalho e que começará a ser abordado ainda neste capítulo.

No programa TRANAL, as condições iniciais são obtidas a partir da análise do sistema em regime permanente senoidal, feita pela subrotina START, que recorre aos subprogramas FECHY, GAUSC e POLAR.

Uma alternativa para a determinação das condições iniciais é se retroceder a um passado remoto e então partir daí sob condições iniciais zero. Este recuo deve ser suficiente para que a componente transitória tenha sido amortecida (cerca de dez ciclos de onda em 60 Hz) e se tenha apenas a onda senoidal perto do tempo atual (t_0 na fig. 1).

Esta alternativa foi explorada num programa antecessor do TRANAL. Nela foi utilizada memória dinâmica, na qual somente os valores históricos foram armazenados. Isto é, os valores passados que não mais importassem ao processo computacional eram destruídos e o espaço da memória reutilizado por novos valores históricos. Esta providência diminuiu a quantidade de memória requerida, mas em contrapartida, aumentou ainda mais o tempo de processamento. Para reduzi-lo, se utilizou um segundo intervalo base durante o período de recuo, dez vezes maior que aquele utili-

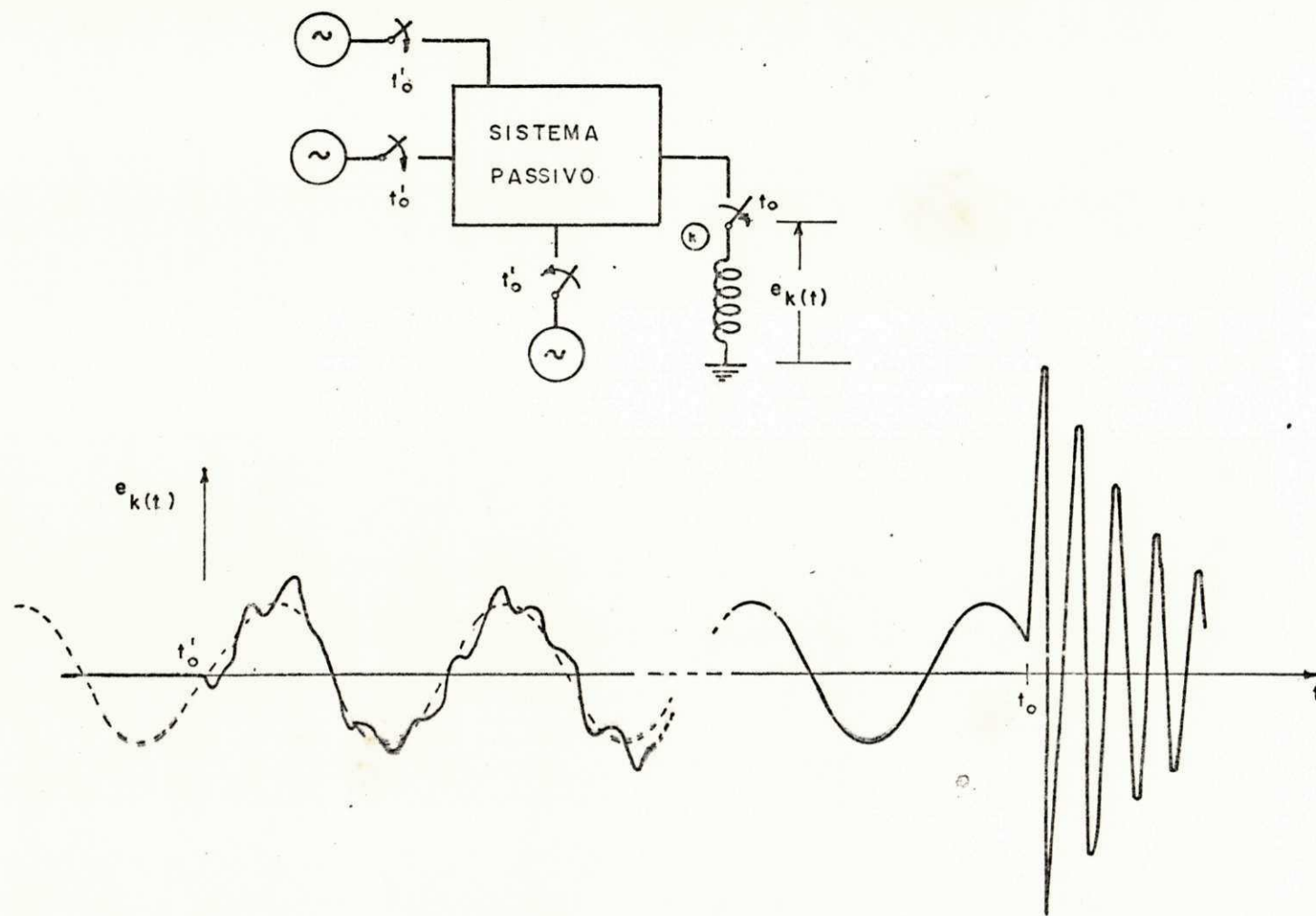


Fig. 1 - Ilustrações da obtenção das condições iniciais retrocedentes no tempo.

zado a partir do tempo inicial t_0 . Com dois intervalos base é necessária uma interpolação nas proximidades de t_0 .

Todo este empreendimento, complica o processo computacional a ponto de tornar este método um substitutivo, e não uma alternativa, para a análise em regime permanente. Isto é, quando antes de transitório o sistema está em regime permanente não senoidal, por questão de não linearidade, por exemplo, este método é indicado.

3.4 Chaveamento.

O programa TRANAL simula chaveamentos através de FECH: subrotina desenvolvida segundo o algoritmo da secção II-2.2. Originalmente, com todas as chaves abertas é construída a matriz condutância do sistema. Se o estudo cobre apenas fechamentos, as alterações são feitas nesta própria matriz. Entretanto, se ocorre abertura, a simulação é indireta: da matriz original é feita uma cópia (bloco COPIA em TRANAL) que se modifica para acomodar fechamentos que equivalem à abertura. Por exemplo, na fig. 2, a fase b do disjuntor é a primeira a sofrer preinserção de resistência. Este evento é visto pelo programa como o fechamento de todas as chaves, exceto da chave $(2b-3b)$.

A subrotina FECH possui duas entradas auxiliares, ENTRY FECHX, pela qual são feitas modificações apenas no Vetor $[I_{total}]$ e que é utilizada juntamente com ENTRY FWBWC; ENTRY ABREX, sempre utilizada após as tensões nodais haverem sido calculadas, para atribuir valores as tensões dos nós eliminados por chaveamen

tos. Como em LUSOLV, a entrada principal de FECHE só é usada no passo inicial e naqueles em que há chaveamentos. A subrotina FECHY a que recorre START é a própria FECHE, adaptada para operar com matrizes complexas. XF

xi

4. Precisão e Estabilidade Numérica.

Para se chegar a eq. (II-17) foram feitas aproximações para indutâncias e capacitâncias. Linhas sem perdas e resistências foram tratadas rigorosamente. Muito embora na prática, se cometa algum erro, sempre que o tempo de trânsito na linha não é um múltiplo de Δt .

Matematicamente, o método é uma integração passo a passo das equações diferenciais de L e C , usando a regra do trapézio, tendo erro de truncamento da ordem de Δt^3 . Teoricamente, se pode chegar tão próximo da integral exata quanto se queira, tomando-se Δt suficientemente pequeno. Na prática, entretanto o erro de arredondamento e o tempo de computação limita esta proximidade. Contudo, é possível escolher o valor de Δt que permita se ter uma curva bastante nítida (pontos não afastados demasiadamente) das oscilações de alta frequência, resultados com boa precisão e tempo de processamento normal. Segundo DOMMEL (1969), mudança de Δt , influencia principalmente a fase das oscilações de alta frequência. A amplitude permanece praticamente invariável.

A regra do trapézio usada para indutância e capacitância concentradas é adequada para propósitos práticos, especialmente se há poucos destes elementos no circuito. Procedimentos de in-

tegração são numericamente estáveis e apresentam erros de arredondamentos bastantes toleráveis. Mesmo assim, maior precisão pode ser obtida com a extrapolação de Richardson (DORN & McCracken, 1978). Esta extrapolação exige porém, um esforço computacional do brado, que normalmente inibe a sua utilização. XP

5. Sobretensão Devida a Desenergização de Um Reator Shunt.

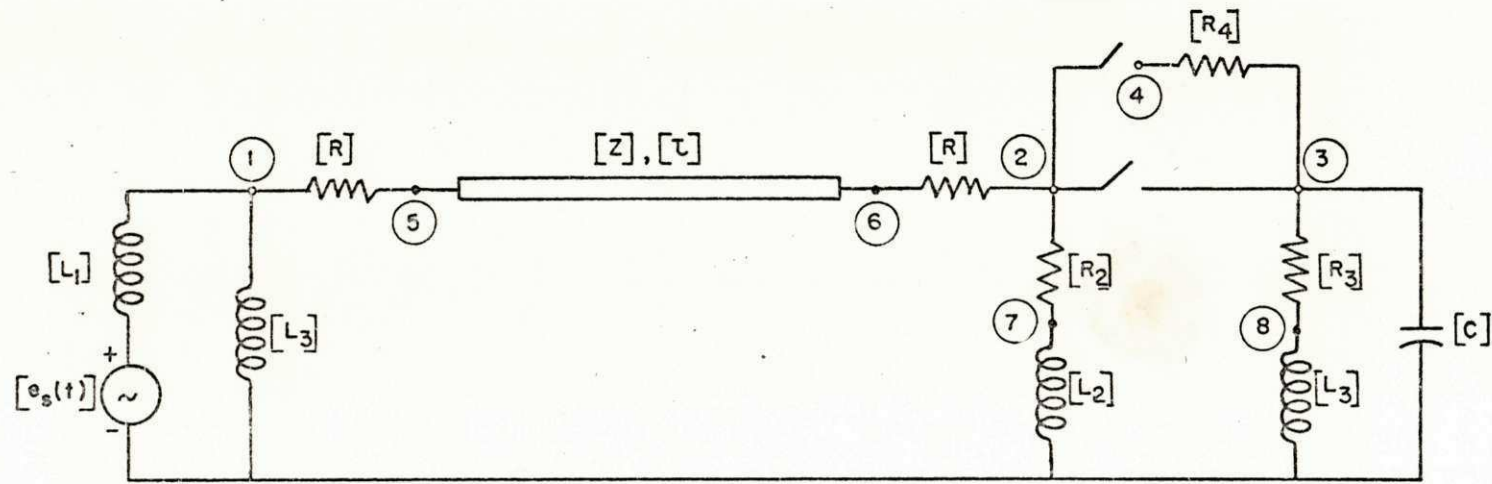
5.1 O Sistema e as Circunstâncias de Desenergização.

Na fig. 2 é visto um sistema hipotético que seria o próprio Jaguara-Taquaril (fig. II-6) se não fosse o reator manobrável que possui na barra de carga (nó 2).

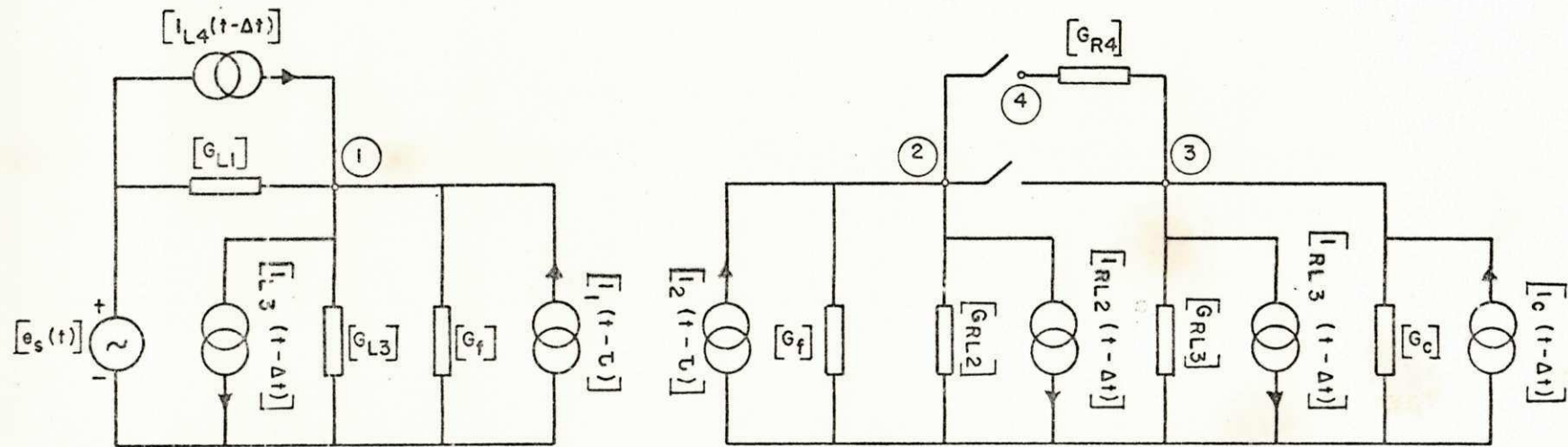
Este reator, em essência, é igual aquele da barra de geração; possui no entanto, uma capacitância parasita de 33 nF/Fase e perdas expressas em termos de uma resistência série de 10 Ω /Fase. É conectado ao resto do sistema via um disjuntor de duplo estágio exatamente igual ao de Jaguara (Fig. II-6).

O sistema está operando em regime permanente senoidal, supondo uma carga de 16 MW e 20 MVar (indutiva), quando o disjuntor abre nos instantes indicados na tab. II-2.

As características deste novo sistema que não estão explícitas aqui, são aquelas que se conhecem desde a secção II-2.2. O referencial de tempo é o mesmo. As circunstâncias em que ocorre o desligamento do reator, são aqueles sob as quais Jaguara-Taquaril é energizada.



(a)



(b)

Fig. 2 - (a) Sistema Jaguar-Taquaril modificado. (b) Circuito equivalente.

5.2 Determinação das Condições Iniciais.

Para se conhecer o estado do sistema em regime permanente senoidal, pelo qual as condições iniciais para o cálculo do transitório são determinadas, basta analisar seu circuito de sequência positiva (fig. 3). As equações nodais deste circuito, em forma matricial, são:

$$\begin{bmatrix} Y_{11} & -\frac{1}{Z_T} & 0 & 0 \\ -\frac{1}{Z_T} & Y_{22} & 0 & 0 \\ 0 & 0 & Y_{33} & -\frac{1}{R_4} \\ 0 & 0 & -\frac{1}{R_4} & \frac{1}{R_4} \end{bmatrix} \begin{bmatrix} E_1 \\ E_2 \\ E_3 \\ E_4 \end{bmatrix} = \begin{bmatrix} \frac{E_s}{X_{L1}} \\ 0 \\ 0 \\ 0 \end{bmatrix} \quad (1)$$

onde

$$Y_{11} = \frac{1}{X_{L1}} + \frac{1}{X_{L3}} + Y_T + \frac{1}{Z_T}$$

$$Y_{22} = \frac{1}{Z_T} + Y_T + \frac{1}{Z_{RL2}}$$

$$Y_{33} = \frac{1}{R_4} + \frac{1}{Z_{RL3}} + Y_C + \frac{1}{R_4}$$

É claro que antes do desligamento, com o disjuntor fechado, a eq. (1) é muito mais simples:

$$\begin{bmatrix} Y_{11} & -\frac{1}{Z_T} \\ -\frac{1}{Z_T} & Y_{22} \end{bmatrix} \begin{bmatrix} E_1 \\ E_2 \end{bmatrix} = \begin{bmatrix} \frac{E_s}{X_{L1}} \\ 0 \end{bmatrix} \quad (2)$$

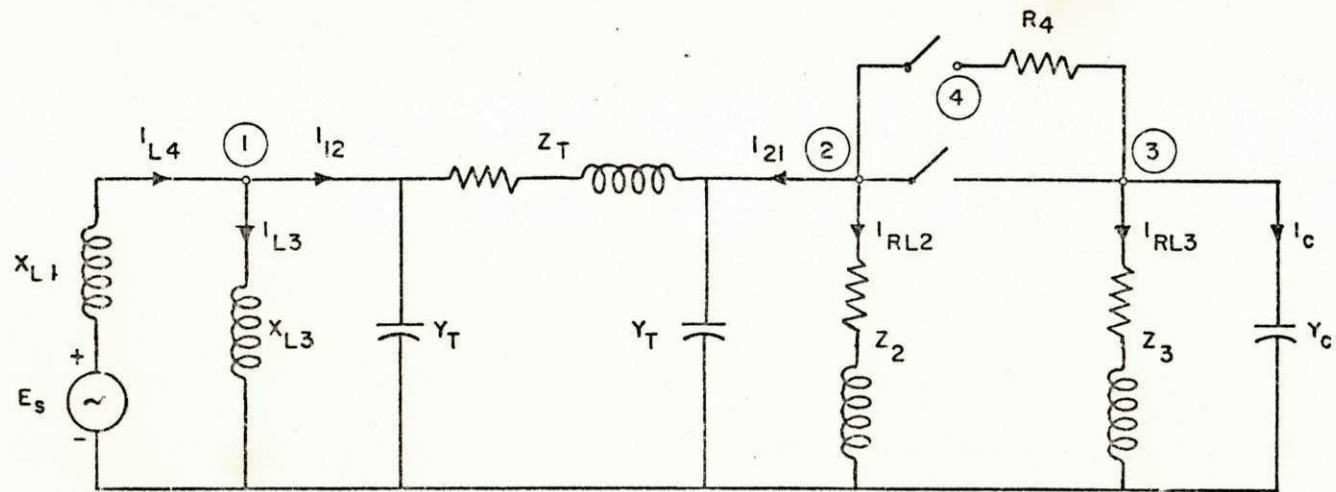


Fig. 3 - Circuito de seqüência positiva do sistema da fig. 2.

Linha representada pelo modelo π -nominal.

onde

$$Y_{11} = \frac{1}{X_{L1}} + \frac{1}{X_{L3}} + Y_T + \frac{1}{Z_T}$$

$$Y_{22} = \frac{1}{Z_T} + Y_T + \frac{1}{Z_{RL2}} + \frac{1}{R_4} + \frac{1}{Z_{RL3}} + Y_C$$

O subprograma START, por questão de generalidade, formula o problema conforme a eq. (1); em seguida chama a subrotina FECHY que o particulariza, chegando a eq. (2). Após a resolução desta equação, através da subrotina GAUSC, FECHY iguala as tensões E_3 e E_4 a E_2 . Esta generalização, aparentemente complicada, é na verdade simples e útil. Ela é especialmente adequada para um sistema, com vários disjuntores, que seja submetido a diferentes estudos. Um caso assim é matéria do próximo capítulo.

Depois de determinadas as tensões, calculam-se facilmente as correntes no circuito. Até t_0 , tempo em que inicia a abertura do disjuntor, a tensão nos terminais do reator é dada por:

$$e_3^a(t) = |E_3| \cos(kt + \theta_3) \quad (3a)$$

$$e_3^b(t) = |E_3| \cos(kt + \theta_3 - \pi/3) \quad (3b)$$

$$e_3^c(t) = |E_3| \cos(kt + \theta_3 + \pi/3) \quad (3c)$$

onde,

$$k = 120 \pi \Delta t;$$

$$t = 1, 2, \dots, t_0 - 1 \text{ (tempo em unidades de } \Delta t);$$

$$|E_3| = \text{m\u00f3dulo do fasor } E_3;$$

$$\theta_3 = \text{fase de } E_3 \text{ em radianos.}$$

A subrotina REGIME faz exatamente isto: fornece o valor instant\u00e2neo de um sinal trif\u00e1sico senoidal, a partir do respectivo fasor de sequ\u00eancia positiva.

No per\u00edodo preliminar ($t < t_0$) todas as tens\u00f5es e correntes, naturalmente s\u00e3o obtidas por equa\u00e7\u00f5es an\u00e1logas as equa\u00e7\u00f5es (3). Conforme a tab. 1, os valores das fontes correspondente \u00e0 linha s\u00e3o dados por:

$$[I_1(t)] = [G_F] [e_2(t)] + [H_F] [i_{21}(t)]$$

$$[I_2(t)] = [G_F] [e_1(t)] + [H_F] [i_{12}(t)]$$

As condi\u00e7\u00f5es iniciais se completam com a determina\u00e7\u00e3o dos valores das fontes de corrente correspondentes aos elementos concentrados, no passo imediatamente anterior ao em que ocorre a primeira abertura ($t = t_0 - 1$):

$$[I_{L1}(t)] = [G_{L1}] ([e_s(t)] - [e_1(t)]) + [i_{L1}(t)]$$

$$[I_{L3}(t)] = [G_{L3}] [e_1(t)] + [i_{L3}(t)]$$

$$[I_{RL2}(t)] = [G_{RL2}] [e_2(t)] + [H_{RL2}] [i_{RL2}(t)]$$

$$[I_{RL3}(t)] = [G_{RL3}] [e_3(t)] + [H_{RL3}] [i_{RL3}(t)]$$

$$[I_C(t)] = [G_C] [e_3(t)] + [i_C(t)]$$

5.3 Tensão nos Terminais do Reator.

Conforme a fig. 2b, a matriz condutância do sistema e o vetor $[I_{total}]$ são:

$$[G_{AA}] = \begin{bmatrix} [G_{L1}] + [G_f] & [0] & [0] & [0] \\ [0] & [G_f] + [G_{RL2}] & [0] & [0] \\ [0] & [0] & [G_{R4}] + [G_{RL3}] + [G_C] & -[G_{R4}] \\ [0] & [0] & -[G_{R4}] & [G_{R4}] \end{bmatrix}$$

$$[I_{total}] = \begin{bmatrix} [G_{L1}] [e_s(t)] + [I_{L1}(t-\Delta t)] + [I_{L2}(t-\Delta t)] + [I_1(t-\tau)] \\ [I_2(t-\tau)] - [I_{RL2}(t-\Delta t)] \\ [I_C(t-\Delta t)] - [I_{RL3}(t-\Delta t)] \\ [0] \end{bmatrix}$$

Em cada passo os valores históricos são atualizados através das fórmulas recursivas da tab. 1.

O maior pico de sobretensão no reator, como era esperado, ocorre na fase e , que é aquela em que a corrente é mais elevada no instante de interrupção. Este pico de sobretensão é de 6.95 p.u., com $R_4 = 400\Omega/\text{fase}$ (fig. 4) e chega a 7.78 p.u. se não há inserção de resistência antes da interrupção (fig. 5).

Ambas as sobretensões foram calculadas usando-se um intervalo de tempo base igual a $102\mu\text{s}$. O mesmo resultado do cálculo da sobretensão de corte foi alcançado de dois modos distintos:

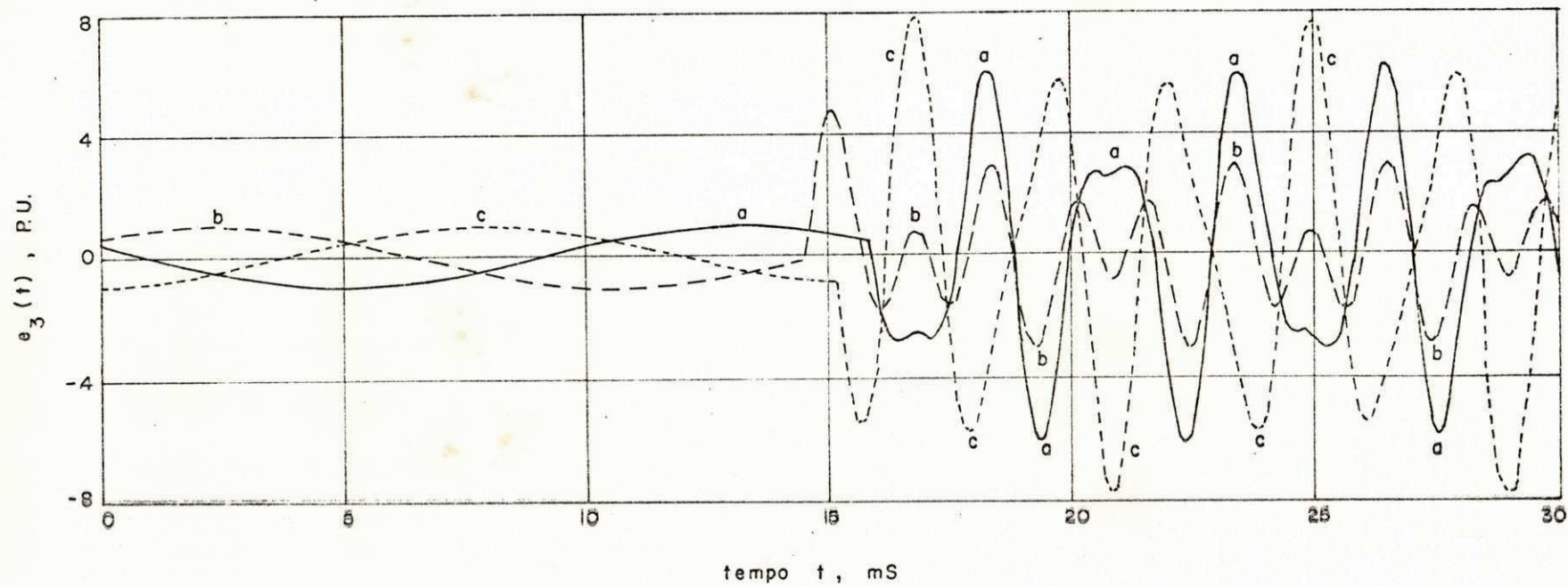


Fig. 4 - Sobretensão no reator provocado por seu desligamento sem pré-inserção de resistência.

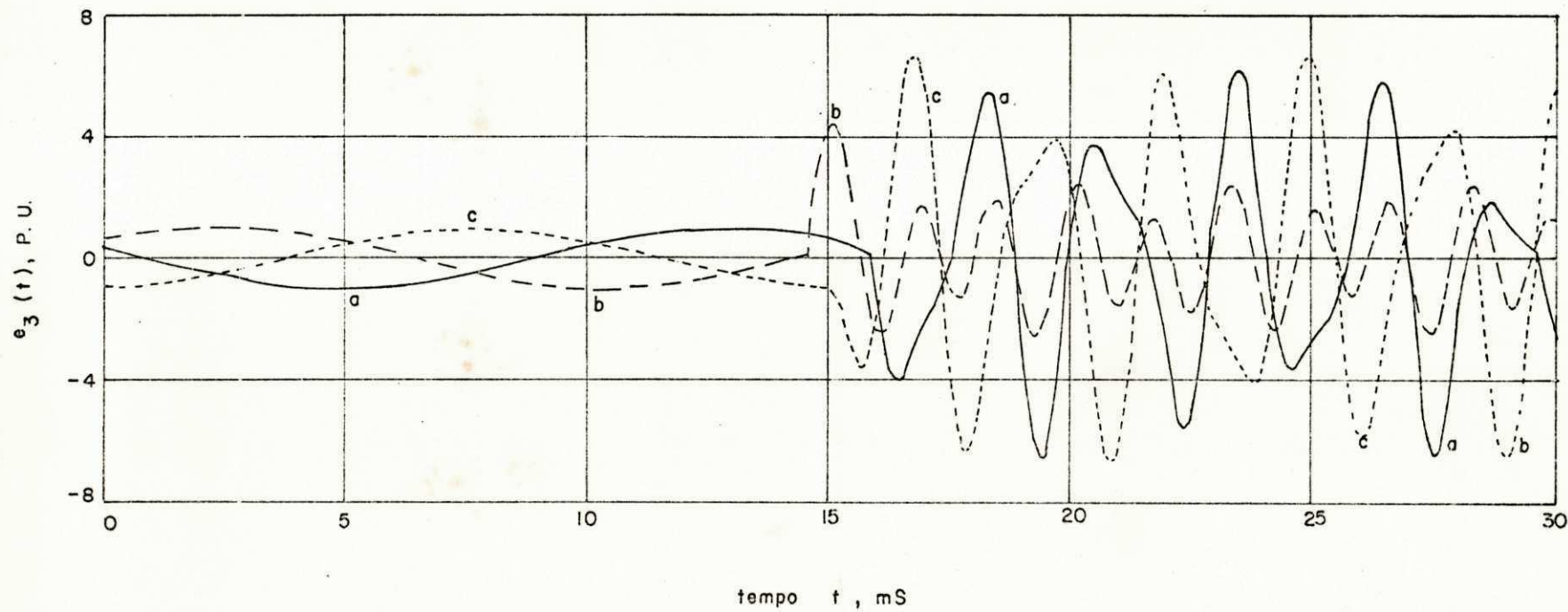


Fig. 5 - Sobretensão no reator provocado por seu desligamento com pré-inserção de resistência.

- a - Procedendo-se como no cálculo da sobretensão com resistência de preinserção, substituindo-se o valor de $R_4 = 400\Omega/\text{fase}$ por um valor ínfimo;
- b - com um valor qualquer de R_4 , invertendo-se a ordem de abertura das chaves. Isto é, abrindo-se o contato auxiliar antes do principal.

A mesma onda de sobretensão encontrada por um ou outro procedimento comprova o sucesso do processo computacional.

XF

CAPÍTULO IV

AMORTECIMENTO DA SOBRETENSÃO PROVOCADA PELA DESENERGIZAÇÃO DE UM REATOR SHUNT

XI - 87

O problema tratado neste capítulo compreende quatro partes, que em linhas gerais são:

- a - Cálculo da sobretensão que ocorre nos terminais de um reator shunt, quando este é subitamente desligado (sobretensão devido ao corte da corrente);
- b - Análise da influência da resistência de preinserção do disjuntor agente do desligamento, na sobretensão;
- c - Análise do amortecimento da sobretensão através de um circuito RC série (a se instalar em paralelo com o reator);
- d - Estudo da possibilidade da sobretensão ser reduzida a nível tolerável por ação combinada da resistência de preinserção e do circuito amortecedor.

1. O sistema e as Circunstâncias do Desligamento.

Este estudo refere-se ao sistema CHESF, que é visto na fig. 1 com o circuito atrás da subestação mais próxima a de Campina Grande, onde se encontra o reator em questão, representado por seu equivalente, do qual se conhecem:

$$\text{Potência de Curto-circuito trifásico} = 2881 \text{ MVA}$$

$$\text{Potência de Curto-circuito monofásico} = 2729 \text{ MVA}$$

$$\text{Impedância de sequência positiva} = 0,0347 \angle 83,45^\circ \text{ p.u.}$$

$$\text{Impedância de sequência zero} = 0,0407 \angle 76,05^\circ \text{ p.u.}$$

Estas impedâncias de sequência referidas ao lado de 230 KV, onde a base é

$$Z_{\text{base}} = \frac{230^2}{100} = 529 \Omega ,$$

são

$$Z_1 = 18,35 \angle 83,45^\circ \Omega$$

$$Z_0 = 21,53 \angle 76,05^\circ \Omega$$

A partir destes valores, através das relações

$$L_s = \frac{1}{3\omega} (X_0 + 2X_1) \quad (1a)$$

$$L_m = \frac{1}{3\omega} (X_0 - X_1) \quad (1b)$$

$$R_s = \frac{1}{3} (R_0 + 2R_1) \quad (2a)$$

$$R_m = \frac{1}{3} (R_0 - R_1) \quad (2b)$$

são obtidos os valores das matrizes indutância e resistência deste equivalente:

$$L_s = 0,0507 \text{ H}$$

$$L_m = 0,0023 \text{ H}$$

$$R_s = 3,12 \ \Omega$$

$$R_m = 1,03 \ \Omega$$

UNIVERSIDADE FEDERAL DA PARAÍBA
Pró-Reitoria Para Assuntos do Interior
Coordenação Setorial de Pós-Graduação
Rua Aprígio Veloso, 882 - Tel (083) 321-7222-R 355
58.100 - Campina Grande - Paraíba

A tab. 1 apresenta as características das linhas A e C. As linhas A e B, paralelas e idênticas podem ser substituídas, para efeito de simplificação, por uma de igual comprimento com resistência e reatância reduzidas a metade e capacitância igual ao dobro da capacitância da linha A.

Na base 100 MVA, a impedância do transformador de dois enrolamentos T_1 (230/69 KV - MVA) é $X_{AB} = 13,20\%$ e as dos demais são apresentadas na tab. 2.

O reator, de 10 MVAR, tem reatância de sequência positiva de 5470 Ω /fase; é suposto que sua reatância de sequência zero é 35% deste valor e que sua capacitância parasita é igual a 9,66 nF/fase. É manobrado por um disjuntor a grande volume de óleo (disjuntor P, na fig. 1) com as seguintes características:

Tempo de interrupção = 3 ciclos,

Corrente nominal = 1200 A,

PARÂMETRO	UNID.	LINHA A	LINHA C
Comprimento	km	186	99
R_1	$\Omega/\text{km}/\text{fase}$	0,093	0,093
X_1	$\Omega/\text{km}/\text{fase}$	0,510	0,520
C_1	$\Omega/\text{km}/\text{fase}$	8,68	8,47
R_0	$\Omega/\text{km}/\text{fase}$	0,530	0,459
X_0	$\Omega/\text{km}/\text{fase}$	1,535	1,632
C_0	$\eta\text{F}/\text{km}/\text{fase}$	6,56	6,60

Tab. 1 - Parâmetros das linhas do sistema CHESF reduzido.

				X_{AM}	X_{MB}	X_{BA}
T_2	230/69/13,8 KV	100 MVA		14,17%	5,95%	21,70%
T_3	230/138/13,8 KV	33 MVA		13,16%	5,02%	20,10%
T_4	230/138/13,8 KV	67 MVA		12,90%	7,90%	21,90%

Tab. 2 - Reatância dos transformadores de três enrolamentos do sistema CHESF reduzido (base - 100 MVA).

Capacidade de interrupção simétrica = 10 GVA,

Tensão nominal = 230 KV.

Como não há informações sobre a defasagem nos tempos de aberturas dos contatos, são adotados os mesmos do disjuntor de *Jaguara* (tab. II-2).

Por hipótese, no momento da desenergização a linha *C* está em vazio; os transformadores estão operando com 75% da sua capacidade nominal e fator de potência igual a 0,8 atrasado. Isto é, a carga de todos eles tem impedância, com base nos respectivos valores nominais,

$$Z_L = \frac{0,8 + j0,6}{0,75} = 1,067 + j0,8 \text{ p.u.}$$

Com esta carga, as impedâncias de seqüências do transformador de dois enrolamentos são:

$$Z_0 = jX_T = j0,132 \text{ p.u.}$$

$$Z_1 = R_L + j(X_L + X_T) = 1,067 + j0,932 \text{ p.u.}$$

Na base 100 MVA, as impedâncias das cargas dos transformadores de três enrolamentos são

$$Z_L = R_L + jX_L = \frac{100}{0,75 \cdot S_N} (0,8 + j0,6)$$

onde, S_N é a capacidade nominal (MVA) do transformador. Nesta mesma base, as impedâncias de seqüências dos transformadores de três

enrolamentos em carga são dadas por

$$Z_1 = R_L + j(X_A + X_B + X_L) \text{ p.u.}$$

$$Z_0 = jX_A + \frac{1}{\frac{1}{jX_M} + \frac{1}{R_L + j(X_B + X_L)}} \quad (3)$$

onde

$$X_A = \frac{X_{AB} + X_{AM} - X_{BM}}{2} \text{ p.u.}$$

$$X_B = \frac{X_{AB} + X_{BM} - X_{AM}}{2} \text{ p.u.}$$

$$X_M = \frac{X_{AM} + X_{BM} - X_{AB}}{2} \text{ p.u.}$$

são as impedâncias do modelo do transformador de três enrolamentos. Os valores de X_{AB} , X_{AM} e X_{BM} são os da tab. 2.

Como X_M em valor absoluto, é muito menor que R_L , X_B e X_L , em vez da eq. (3) se pode usar

$$Z_0 \approx j(X_A + X_M) \text{ p.u.}$$

Referindo-se a 230 KV, as impedâncias dos transformadores são

	$Z_0 (\Omega)$	$Z_1 (\Omega)$
T_1	$j 69,8$	$564,3 + j 493,0$
T_2	$j 74,9$	$564,3 + j 538,0$
T_3	$j 69,6$	$1709,9 + j 1388,7$
T_4	$j 68,2$	$842,2 + j 743,4$

Com todas as considerações anteriores e substituindo-se os transformadores por um único equivalente, a fig. 1 se reduz a fig. 2a. A partir dos valores das impedâncias de sequências deste equivalente ($Z_0 = j 17,6 \Omega$ e $Z_1 = 188,0 + j 165,7 \Omega$), através das equações (1) e (2), se determinam os elementos das duas matrizes resistências e indutância ($[R_2]$ e $[L_2]$ na fig. 4b). Estes Elementos são:

$$R_s = 125,3 \Omega$$

$$R_m = -62,7 \Omega$$

$$L_s = 0,307 \text{ H}$$

$$L_m = -0,131 \text{ H}$$

Na fig. 2b, $[L]$ é a matriz indutância do reator. As matrizes correspondentes aos parâmetros do circuito amortecedor, $[R_\alpha]$ e $[C_\alpha]$, a capacitância parasita, $[C]$; e a resistência de preinserção $[R_p]$, são diagonais.

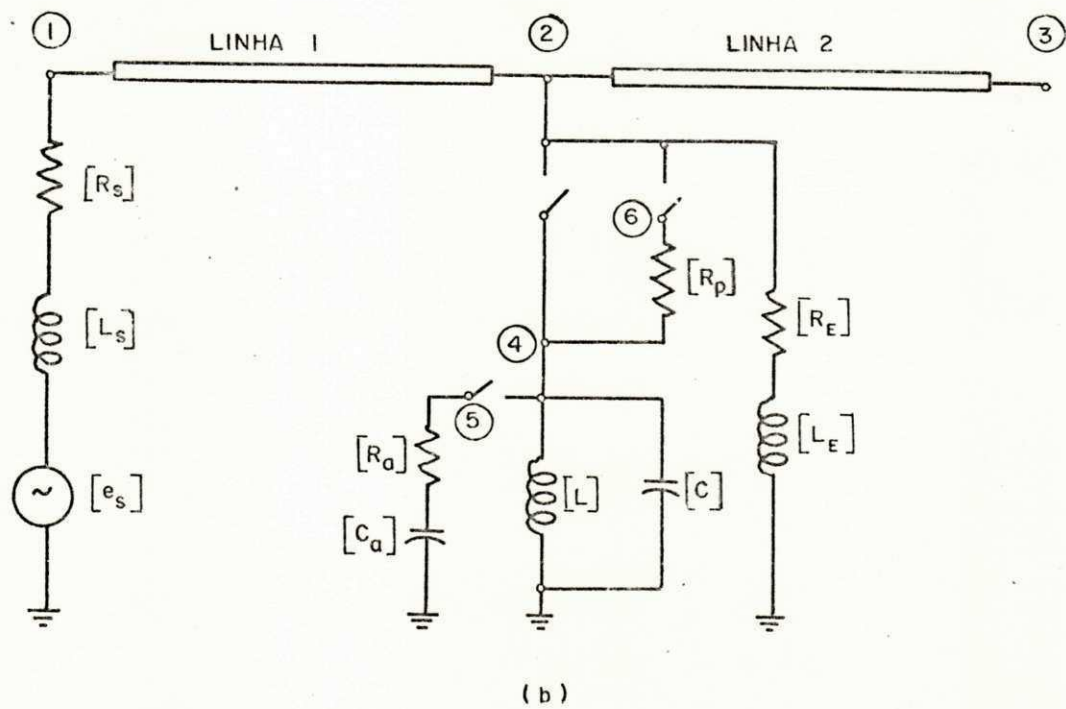
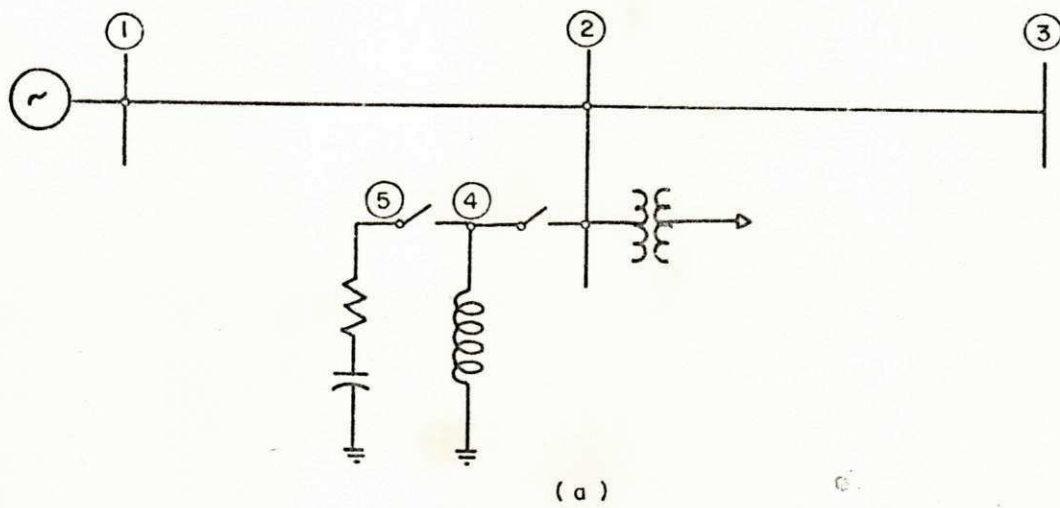


Fig. 2 - (a) Sistema da fig. 1 simplificado.

(b) Representação esquemática.

2. A Simulação Digital e a Solução do Problema.

Há maior comodidade na resolução do problema, descrito no início do capítulo, formulando-o de maneira global. Isto é possível supondo que o sistema já possua o circuito amortecedor RC (fig. 2a). Deste modo, se constroi uma única matriz condutância original, que se adapta a todas as etapas do problema. As condições iniciais são obtidas em cada estágio, de maneira análoga àque-la da secção (III-3.3); a análise em regime permanente senoidal é efetuado uma única vez, sendo o resultado preservado e reutilizado sempre que necessário. Em todas as etapas se utilizou um intervalo básico de tempo de 80 μ s.

Antes de mais nada deve-se ter conhecimento da sobretensão natural nos terminais do reator, que ocorre quando sua desenergização se dá isenta de qualquer amortecimento. Referindo-se ao circuito da fig. 2, isto corresponde a simular a abertura de chave (2-4), sendo mantidas abertas, as chaves (2-6) e (4-5). A fig. 3 mostra o resultado desta simulação. A sobretensão instantânea máxima é de 5.6 p.u. Não se verifica nenhuma atenuação na onda de sobretensão. Isto por não haver meio de dissipar a energia armazenada no reator quando se deu o desligamento (as perdas no reator não foram incluídas no circuito da fig. 2).

No sentido de se conhecer a influência da resistência de preinserção na sobretensão, simulou-se a abertura sequencial das chaves (2-4) e (2-6), com a chave (2-5) mantida aberta (fig. 2). Diferentes valores de resistência de preinserção R_p , foram adotados para que a curva da fig. 4 fosse definida. Esta figura mostra que o valor ótimo de R_p está na vizinhança de 3.500 Ω . Valores extre-

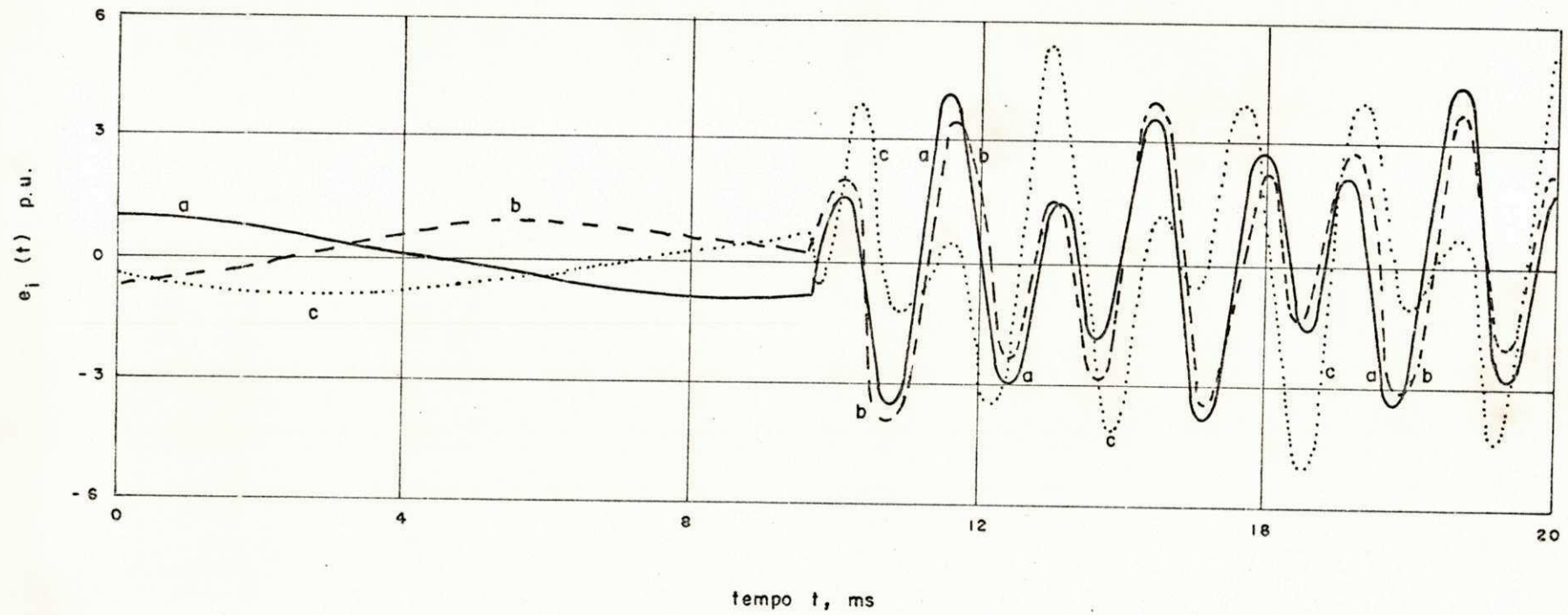


Fig. 3 - Sobretensão devida ao desligamento do reator, sem amortecimento.

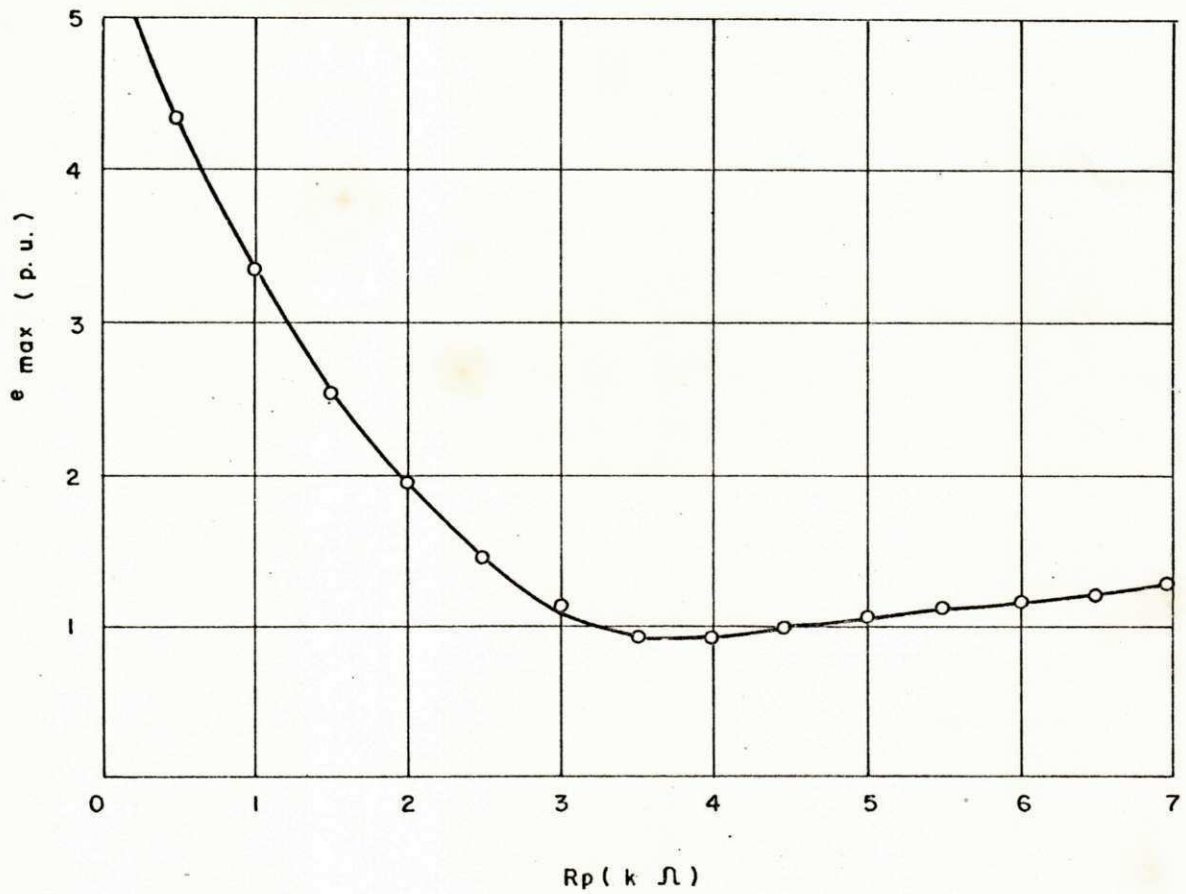


Fig. 4 - Variação da sobretensão instantânea máxima com o valor da resistência de preinserção.

$R_a (\Omega)$	SOBRETENSÃO MÁXIMA (p.u.)		
	$C_a = 10 \text{ nF}$	$C_a = 15 \text{ nF}$	$C_a = 20 \text{ nF}$
500,	2,32	2,10	1,92
1000,	2,23	2,08	1,89
1500,	2,17	2,05	1,88
2000,	2,15	2,03	1,86
2500,	2,13	2,01	1,84

Tab. 3 - Variação da sobretensão instantânea máxima com a resistência do circuito amortecedor ($R_p = 1000 \Omega$, 1.0 p.u. = $230 \sqrt{2}/\sqrt{3}$ kV).

$C_a (\text{nF})$	SOBRETENSÃO MÁXIMA (p.u.)
5,0	2,70
10,0	2,23
15,0	2,07
20,0	1,90
25,0	1,73

Tab. 4 - Variação da sobretensão instantânea máxima com a capacitância do circuito amortecedor ($R_a = R_p = 1000 \Omega$; 1.0 p.u. = $230 \sqrt{2}/\sqrt{3}$ kV).

mos de R_p tem as mesmas consequências: o pico de sobretensão (e_{\max}) é igual 5,6 p.u. se $R_p \rightarrow 0$ e 6,7 p.u. se $R_p \rightarrow \infty$.

Para se verificar a influência dos parâmetros do circuito amortecedor, calculam-se os picos de sobretensão devido a abertura sequencial das chaves (2-4) e (2-6) com a chave (4-5) tendo sido previamente fechada e sendo mantida nesta posição. Esta simulação foi repetida, sempre com $R_p = 1000 \Omega$, variando-se os parâmetros do circuito amortecedor. Os resultados são apresentados nas tabelas 3 e 4.

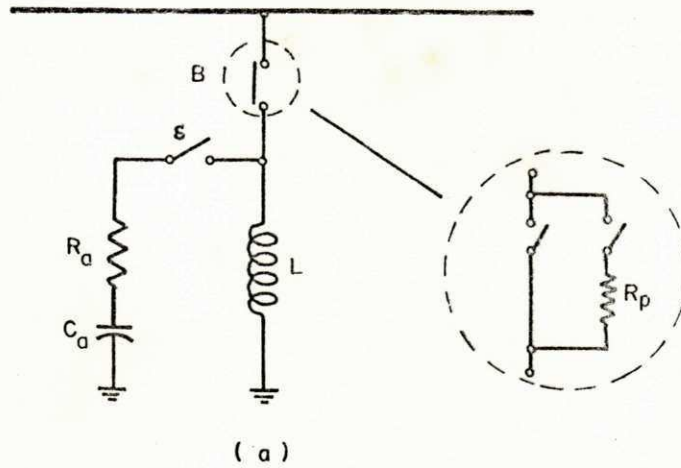
Observou-se que a resistência de pré-inserção R_p , causa uma atenuação na onda de sobretensão sem influenciar substancialmente os picos iniciais. A resistência R_a do circuito amortecedor, também age deste modo. Ao contrário, a capacitância C_a controla a sobretensão desde o primeiro pico.

Com base no resultado do estudo, sugere-se para reduzir a sobretensão ao nível tolerável 2,2 p.u., que sejam adotados os seguintes valores: $R_p = R_a = 1000 \Omega$ e $C_a = 10 \mu\text{F}$.

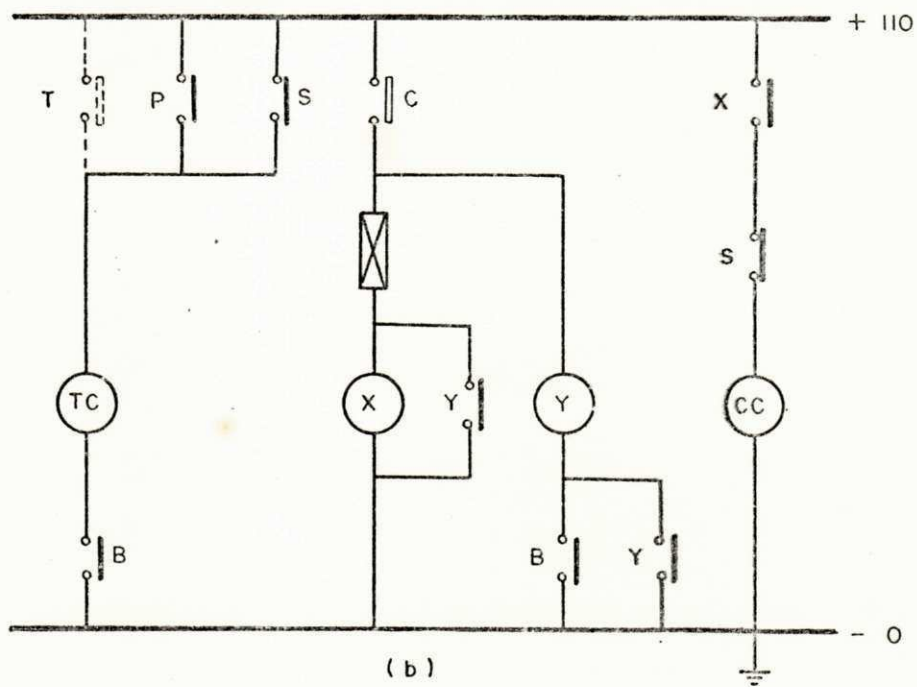
As modificações necessárias no circuito de acionamento do disjuntor para se adaptar os elementos de amortecimento, são discutidas na secção seguinte.

3. Implementação dos Meios de Amortecimento Estudados.

Foi mostrado que uma das técnicas para amortecimento de tensões transitórias devidas a desenergização, é a conexão temporária de um circuito RC série aos terminais do reator. O esquema básico é visto na fig. 5a. O circuito amortecedor não está li-



(a)



(b)

Fig. 5 - (a) Esquema básico de chaveamento do reator. (b) Circuito típico de controle de disjuntor.

UNIVERSIDADE FEDERAL DA PARAÍBA
 Pró-Reitoria para Assuntos do Interior
 Coordenação Setorial de Produção
 Rua Arquivo Veloso, 882 - Tel. (933) 321-7222 - R. 355
 58.100 - Campina Grande - Paraíba

gado ao reator quando este estiver energizado, isto é, em operação normal. Para desenergizar o reator, a chave S é fechada e o disjuntor é automaticamente aberto. O fechamento subsequente do disjuntor, somente é possível quando a chave S voltar a estar aberta.

A fig. 5b mostra um esquema típico de controle de disjuntor, conhecido como esquema de relé X - Y . A bateria da subestação fornece potência para fechamento e abertura. As chaves de controle aplicam a bateria à bobina de abertura. O relé X - Y evita o fenômeno de *pumping* e torna a operação do disjuntor segura. O contato de fechamento da chave de controle (C) aciona o relé X que energiza a bobina de fechamento do disjuntor. Quando o disjuntor fica completamente aberto, um contato auxiliar do disjuntor (B), energiza o relé Y que sela através de seus próprios contatos. O contato do relé Y desenergiza o relé X , que abre e interrompe assim, a corrente na bobina de fechamento. Se o disjuntor é acionado automaticamente quando ocorre uma falta, ele abre e não volta a fechar-se sem que o operador ponha a chave de controle na posição fechada. O relé X continua curto-circuitado pelo contato do relé Y até que a chave de controle retorne a posição neutra.

A fig. 5b também mostra o esquema de controle para incluir o controle lógico proposto no primeiro parágrafo. Um contato S , normalmente aberto (isto é, aberto quando a chave de isolamento S está aberta), é conectada em lugar do contato de abertura T da chave de controle. Um contato normalmente fechado da chave S é conectado em série com a bobina de fechamento do disjuntor. Assim quando a chave S é fechada, o disjuntor é automaticamente aberto e o fechamento é impedido até à abertura da chave S .

CONCLUSÕES

Transitórios consequentes da desenergização de reatores shunt foram calculados. A atenuação destes transitórios por ação de resistores de preinserção e de amortecedor RC foi investigado. Um programa de computador desenvolvido segundo o método de Dommel foi usado. Simplificação e economia foram conseguidos no esforço computacional adotando-se modelo para linha que já incluísse as perdas. Estas vantagens foram ampliadas ao se considerar como ramos únicos, indutâncias ou capacitâncias em série com resistências.

No primeiro estudo realizado, referente a linha *Jaguara-Taquaril*, um intervalo base de $102\mu\text{s}$ foi utilizado, dando bons resultados. Quando a corrente no reator foi interrompida sem inserção prévia de resisitência, a sobretensão alcançou 7,8 p.u. Este valor foi reduzido para 6,9 p.u. usando-se uma resisitência de preinserção de $400\ \Omega/\text{fase}$.

Ao ser desenergizado o reator do sistema CHESF (segundo estudo realizado), a sobretensão chegou a 5,6 p.u. Com resistência de preinserção de 1000Ω , este pico baixou para 3,2 p.u. Com esta resistência, sugere-se que os parâmetros do circuito amortecedor sejam escolhidos iguais a 1000Ω e $10\eta\text{F}$. Assim a sobretensão máxima será da ordem de 2,2 p.u.; o que é aceitável. Neste estudo foi usado um $\Delta t = 80\mu\text{s}$.

Observou-se que a capacitância do circuito amortecedor controla a sobretensão desde os primeiros picos. As resistências tanto a de preinserção quanto a do circuito amortecedor não influenciam substancialmente os picos iniciais.

Circuito amortecedor RC combinado com resistor de preinserção mostrou-se um vigoroso meio de atenuar transitórios devidos ao corte de corrente. Porém não há garantia de que esta, seja a estratégia ótima para resolver o problema. Para se ter esta certeza, é necessário que o amortecimento da sobretensão via pára-raio também seja estudado. É conveniente que estas técnicas sejam confrontadas, inclusive levando-se em conta, o fator econômico.

REFERÊNCIAS

- BERNERYD, S.; SÖLVER, C.E.; AHLGREN L., ERIKSON, R. Switching of shunt reactors - comparison between field and laboratory test, *CIGRE*, Report 13-04, 1976.
- BURGER, U. Lightning arresters for limiting overvoltages on disconnecting shunt reactors, *Brown Boveri Review*. v. 62, 4: 176-181, 1975.
- DAMSTRA, G.C. Influence of circuits parameters on current chopping and overvoltages in inductive M. V. circuits. *CIGRE*, Report 13-08, 1976.
- DOMMEL, H.W. Method for solving transient phenomena in multiphase system. *Proc. 2nd Power System Computation Conference*. Report 5-8, Stockholm, Sweden, 1966.
- Digital computer solution of electromagnetic transients in single - and multiphase networks. *IEEE Trans.*, v. PAS-88, 4: 388-395, 1969.

- DOMMEL & CUNHA, C.A.F. Reprodução por computador de testes de campo na linha Jaguara-Taquaril de 345 kV. *II Seminário Nacional de Geração e Transmissão de Energia Elétrica*. Belo Horizonte, 1973.
- & MEYER W.S Computation of eletromagnetic transients. *Proc. IEEE*, 62: 983-993, 1974.
- DORN, W.S. & McCracken, D.D. Numerical methods with fortran IV case studies. New York, John Wiley & Sons, 1972, 447 p.
- GARDNER, G.E. & URWING R.J. Arc instability and current chopping in an air-blast interrupter. *Proc. IEE* v. 124, 7: 619-627, 1977.
- , Performance and testing of multi-unit circuit-breakers switching low inductive currents. *Proc. IEE*, v. 125, 3: 230-236, 1978.
- LEE, T.H. & GREENWOOD, A. The effect of current chopping in circuit-breakers on networks and transformers. *AIEE Trans.*, 79: 535-555, 1960.
- MURAND, M.; YANABU, S.; OHASHI, H.; ISHIZUKA, H. & OKAZAKI, T. Current chopping phenomena of medium voltage circuit-breakers. *IEEE Trans.*, v. PAS-96, 1: 143-149, 1977.
- NAIDU, S.R. Sobretensões em sistemas de potência. Campina Grande, *Deptº de Eng. Elétrica da UFPb*, publicação interna, 1979.
- SARKINEN, S.R.; SCHOCKELT, G.G. & BRUNKE, J.H. High frequency switching surges in EHV shunt reactor installation with reduced insulation levels. *IEEE Trans.*, v. PAS-98, 3: 1013-1021, 1979.
- SLAMECKA, E. Interruption of small inductive currents. *CIGRE Report* 13-02, 1980.

APÉNDICE

O PROGRAMA TRANAL

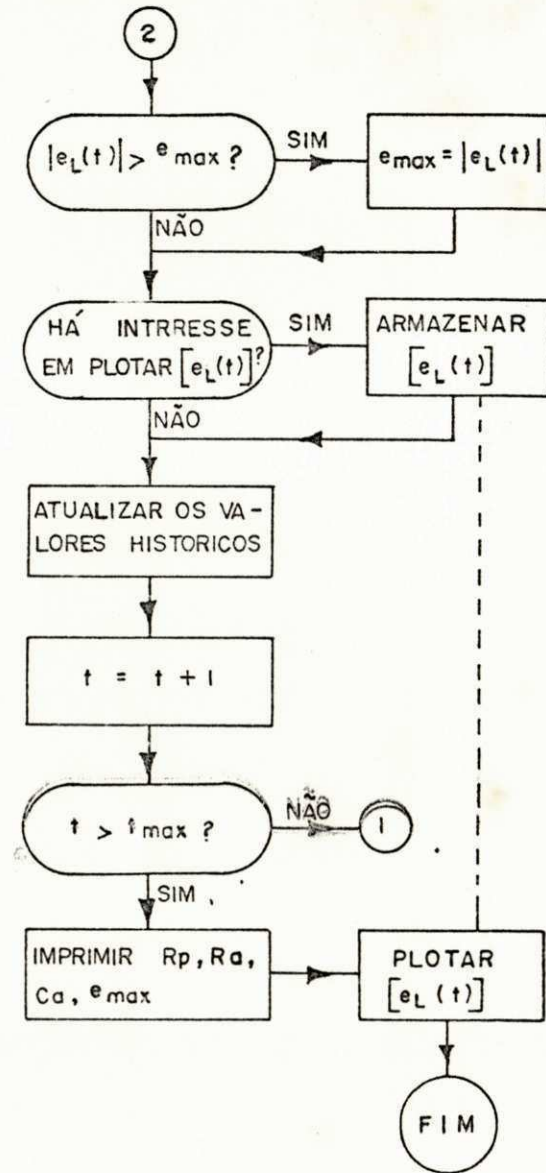
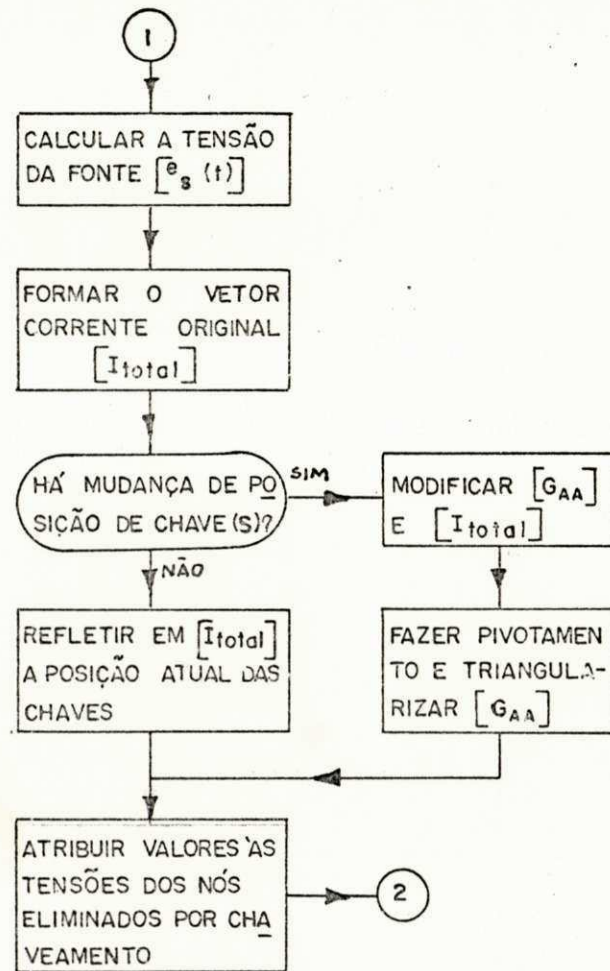
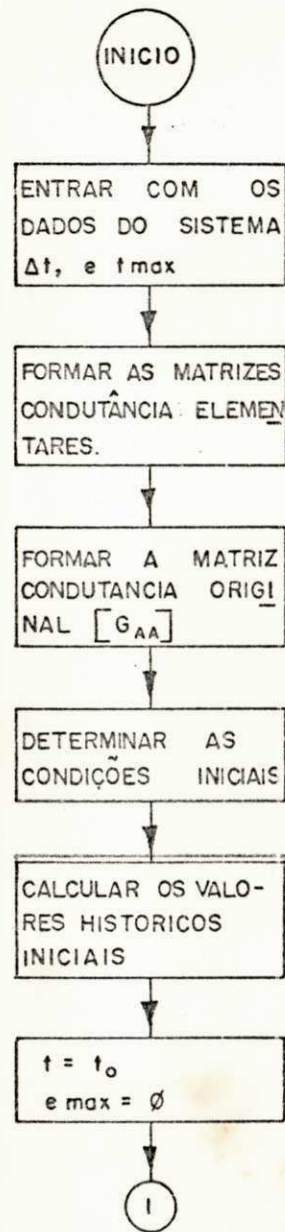


DIAGRAMA DE BLOCOS SIMPLIFICADO

$[e_L(t)]$ = tensão nos terminais do reator.

\$JOB. TRANAL,PAGES=50,TIME=5,LINES=69
\$NOEXT

```
IMPLICIT LOGICAL(Q)  
COMMON /EPS/ QSTART,QINTER,QNOREL,QPRE  
QSTART=.TRUE.  
QINTER=.FALSE.  
QNOREL=.TRUE.  
QPRE=.FALSE.  
CALL PRINC(1000.,1000.,10.E-9,0.)  
STOP  
END
```

C
C PRINC EH D CENTRO DO PROGAMA.
C

```
SUBROUTINE PRINC(R4,R5,C5,SUPER)  
IMPLICIT INTEGER(T),COMPLEX(F)  
LOGICAL IND,PRIMA,QPLOT,QSTART,QINTER,QNOREL,QPRE  
DIMENSION S(3,3),S1(3,3),UM(3,3),TVA(3),TVB(3),Y(4,400),  
+ A(20,20),X(20),P(20,20),JPIV(20),  
+ ES(3),E1(3),E2(3),E3(3),E4(3),E5(3),E6(3),  
+ AVE(3),AMA(3,3),HAF(3,3),HBF(3,3),  
+ URL1(3,3),URL2(3,3),URC5(3,3),UGA(3,3),UGB(3,3)  
REAL IRL1(3),I12(3),I21(3),IRL2(3),IL4(3),IC4(3),IRC5(3),  
+ I23(3),I32(3),I24(3),I26(3),IT4(3),FATOR,NIVEL/1./  
DIMENSION RR1(3,3),RL1(3,3), GRL1(3,3),HRL1(3,3),  
+ GR4(3,3),GL4(3,3),GC4(3,3),  
+ RR2(3,3),RL2(3,3), GRL2(3,3),HRL2(3,3),  
+ RR5(3,3), RC5(3,3),GRC5(3,3),HRC5(3,3),  
+ GA(3,3),GAF(3,3),HA(3,3),JA1(3,400),JA2(3,400),  
+ GB(3,3),GBF(3,3),HB(3,3),JB2(3,400),JB3(3,400)  
COMMON/PS/ FES,FE1,FE2,FE3,FE4,FE5,FE6,  
+ FI12,FI21,FIL4,FIC4,FIRC5,FIRL2,FI23,FI32,FI24,FI26,  
+ FES1/PF/A, N /PR/DELTA /PP/Y,YMAX,YMIN,QPLOT  
+ /EPS/QSTART,QINTER,QNOREL,QPRE  
EQUIVALENCE(E1(1),X(1)),(E2(1),X(4)),(E3(1),X(7)),  
+ (E4(1),X(10)),(E5(1),X(13)),(E6(1),X(16))  
DATA S /4*1.,-2.,3*1.,-2./,P,X/420*0./,  
+ S1/4* .33333,-.33333, 0., .33333,0.,-.33333/,  
+ UM/1.,3*0.,1.,3*0.,1./,  
+ DELTA,TVA,TVB /80.E-6,12,8,8,6,4,4/,  
+ T0,TPARE/12,250/  
DELTB=2./DELTA ; DELTC=DELTA/2. ; FATOR=0.  
IF(SUPER .NE. 0.) FATOR=50./SUPER  
QPLOT=.FALSE. ; YMAX=YMIN=0. ; N=18
```

C
T241=T0+16 ; T261=T0+110
T242=T0 ; T262=T0+ 90
T243=T0+10 ; T263=T0+100

C
C20 FORNACAO DAS MATRIZES ELEMENTARES.
C

```
CALL GERMM(GA,4.95E-3,2.39E-3)  
CALL GERMM(GB,2.50E-3,1.23E-3)  
CALL GERMM(HA, .956, .882)  
CALL GERMM(HB, .978, .939)  
CALL PROMM(GAF,GA,S1 )  
CALL PROMM(GAF,S ,GAF)  
CALL PROMM(GBF,GB,S1 )  
CALL PROMM(GBF,S ,GBF)
```

C
CALL GERFF(RR1,3.12 ,1.03 ,1.)
CALL GERFF(RL1, .0507, .0023,DELTB)
CALL SOMM(GRL1,RL1,RR1)
CALL INVER(GRL1,GRL1)
CALL SUBTM(HRL1,RL1 ,RR1)
CALL PROMM(HRL1,GRL1,HRL1)

C
CALL GERFF(GR4,1./R4,0.,1.)
CALL GERFM(GL4,14.5,5.08,DELTB)

UNIVERSIDADE FEDERAL DA PARAIBA
Pró-Reitoria Para Assuntos do Interior
Coordenação Setorial de Pós-Graduação
Rua Aprímio Veloso, 882 - Tel (083) 321-7222-R 355
58.100 - Campina Grande - Paraíba

```

CALL INVER(GL4,GL4)
CALL GERFF(GC4,9.66E-9,0.,DELTB)
C
CALL GERFF(RR2,125.3,-62.7,1. )
CALL GERFF(RL2, .309,-.131,DELTB)
CALL SOMAM(GRL2,RL2,RR2)
CALL INVER(GRL2,GRL2)
CALL SUBTM(HRL2,RL2,RR2)
CALL PROMM(HRL2,GRL2,HRL2)
C
CALL GERFF(RR5,R5,0.,1.)
CALL GERFF(RC5,C5,0.,DELTB)
CALL INVER(RC5,RC5)
CALL SOMAM(GRC5,RC5,RR5)
CALL INVER(GRC5,GRC5)
CALL SUBTM(HRC5,RC5,RR5)
CALL PROMM(HRC5,GRC5,HRC5)
C
C25 FORMACAO DA MATRIZ CONDUTANCIA ORIGINAL.
C
DO 252 I=1,3
  DO 251 J=1,3
    P(I,J)=GRL1(I,J)+GAF(I,J)
    P(I+ 3,J+ 3)= GAF(I,J)+GBF(I,J)+GRL2(I,J)
    P(I+ 6,J+ 6)= GBF(I,J)
    P(I+ 9,J+ 9)= GR4(I,J)+GL4(I,J)+GC4(I,J)
    P(I+12,J+12)= GRC5(I,J)
    P(I+15,J+15)= GR4(I,J)
    P(I+ 9,J+15)=-GR4(I,J)
    P(I+15,J+ 9)=-GR4(I,J)
  251 CONTINUE
  252 CONTINUE
C
C30 DETERMINACAO DAS CONDICAOES INICIAIS.
C
CALL START(R4,R5,C5)
CALL REGIME(T242,FES ,ES )
CALL REGIME(T242,FE1 ,E1 )
CALL REGIME(T242,FE2 ,E2 )
CALL REGIME(T242,FE4 ,E4 )
CALL REGIME(T242,FE5 ,E5 )
CALL REGIME(T242,FI12 ,I12 )
CALL REGIME(T242,FIL4 ,IL4 )
CALL REGIME(T242,FIC4 ,IC4 )
CALL REGIME(T242,FIRC5,IRC5)
CALL REGIME(T242,FIRL2,IRL2)
CALL SUBTV(AVE,ES ,E1 )
CALL PROMV(AVE,GRL1,AVE) : CALL SUBTV(IRL1,I12 ,AVE )
CALL PROMV(AVE,GL4 ,E4 ) : CALL SUBTV(IL4 ,IL4 ,AVE )
CALL PROMV(AVE,GRL2,E2 ) : CALL SUBTV(IRL2,IRL2,AVE )
CALL PROMV(AVE,GC4 ,E4 ) : CALL SUBTV(IC4 ,AVE ,IC4 )
CALL PROMV(AVE,GRC5,E5 ) : CALL SUBTV(IRC5,AVE ,IRC5)
C
C35 MATIZES ELEMENTARES AUXILIARES.
C
CALL PROMM(GAF,GA,S1)
CALL PROMM(HAF,HA,S1)
CALL PROMM(GBF,GB,S1)
CALL PROMM(HBF,HB,S1)
C
CALL SOMAM(CURL1,UM ,HRL1)
CALL PROMM(CURL1,URL1,GRL1)
CALL SOMAM(CURL2,UM ,HRL2)
CALL PROMM(CURL2,URL2,GRL2)
CALL SOMAM(CURC5,UM ,HRC5)
CALL PROMM(CURC5,URC5,GRC5)
C
CALL SOMAM(CUGA,UM,HA )
CALL PROMM(CUGA,GA,UGA)

```



```
CALL PROMM(UGA,UGA,S1)
CALL SOMAM(UGB,UM,HB )
CALL PROMM(UGB,GB,UGB)
CALL PROMM(UGB,UGB,S1)
```

C

C

C40 PROCESSO RECURSIVO.

C

```
DO 401 T=1 ,T242
   EXECUTE NEOCOP
   EXECUTE MONTE
```

401 CONTINUE

C

```
PRIMA=.TRUE.
```

```
TI=T
```

```
DO 402 T=TI,T243
   EXECUTE CORIG
   IF (PRIMA) THEN DO
      EXECUTE COPIA
      CALL FECHE(6,18,X)
      CALL FECHE(5,17,X)
      CALL FECHE(4,16,X)
      IF (QPRE) EXECUTE RFE45
      CALL FECHE(6,12,X)
      CALL FECHE(4,10,X)
      CALL LUSOLV(A,X,N,JPIV)
      PRIMA=.FALSE.
```

```
   ELSE DO
```

```
      CALL FECHX(6,18,X)
      CALL FECHX(5,17,X)
      CALL FECHX(4,16,X)
      IF (QPRE) EXECUTE RFX45
      CALL FECHX(6,12,X)
      CALL FECHX(4,10,X)
      CALL FWBCCA(X,N,JPIV)
```

```
   ENDIF
```

```
   CALL ABREX(4,10,X)
   CALL ABREX(6,12,X)
   IF (QPRE) EXECUTE RAB45
   CALL ABREX(4,16,X)
   CALL ABREX(5,17,X)
   CALL ABREX(6,18,X)
   EXECUTE NEOCOT
   EXECUTE MONTE
```

402 CONTINUE

C

```
PRIMA=.TRUE.
```

```
TI=T
```

```
DO 403 T=TI,T241
   EXECUTE CORIG
   IF (PRIMA) THEN DO
      EXECUTE COPIA
      CALL FECHE(6,18,X)
      CALL FECHE(5,17,X)
      CALL FECHE(4,16,X)
      IF (QPRE) EXECUTE RFE45
      CALL FECHE(4,10,X)
      CALL LUSOLV(A,X,N,JPIV)
      PRIMA=.FALSE.
```

```
   ELSE DO
```

```
      CALL FECHX(6,18,X)
      CALL FECHX(5,17,X)
      CALL FECHX(4,16,X)
      IF (QPRE) EXECUTE RFX45
      CALL FECHX(4,10,X)
      CALL FWBCCA(X,N,JPIV)
```

```
   ENDIF
```

```
   CALL ABREX(4,10,X)
   IF (QPRE) EXECUTE RAB45
```

```

CALL ABREX(4,16,X)
CALL ABREX(5,17,X)
CALL ABREX(6,18,X)
EXECUTE NEDCOT
EXECUTE MONTE
403 CONTINUE
C
PRIMA=.TRUE.
TI=T
DO 404 T=TI,T262
EXECUTE CORIG
IF (PRIMA) THENDO
EXECUTE COPIA
CALL FECHE(6,18,X)
CALL FECHE(5,17,X)
CALL FECHE(4,16,X)
IF (QPRE) EXECUTE RFE45
CALL LUSOLV(A,X,N,JPIV)
PRIMA=.FALSE.
ELSEDO
CALL FECHX(6,18,X)
CALL FECHX(5,17,X)
CALL FECHX(4,16,X)
IF (QPRE) EXECUTE RFX45
CALL FWBWC(A,X,N,JPIV)
ENDIF
IF (QPRE) EXECUTE RAB45
CALL ABREX(4,16,X)
CALL ABREX(5,17,X)
CALL ABREX(6,18,X)
EXECUTE NEDCOT
EXECUTE MONTE

```

```

404 CONTINUE
C
PRIMA=.TRUE.
TI=T
DO 405 T=TI,T263
EXECUTE CORIG
IF (PRIMA) THENDO
EXECUTE COPIA
CALL FECHE(6,18,X)
CALL FECHE(4,16,X)
IF (QPRE) EXECUTE RFE45
CALL LUSOLV(A,X,N,JPIV)
PRIMA=.FALSE.
ELSEDO
CALL FECHX(6,18,X)
CALL FECHX(4,16,X)
IF (QPRE) EXECUTE RFX45
CALL FWBWC(A,X,N,JPIV)
ENDIF
IF (QPRE) EXECUTE RAB45
CALL ABREX(4,16,X)
CALL ABREX(6,18,X)
EXECUTE NEDCOT
EXECUTE MONTE

```

```

405 CONTINUE
C
PRIMA=.TRUE.
TI=T
DO 406 T=TI,T261
EXECUTE CORIG
IF (PRIMA) THENDO
EXECUTE COPIA
CALL FECHE(4,16,X)
IF (QPRE) EXECUTE RFE45
CALL LUSOLV(A,X,N,JPIV)
PRIMA=.FALSE.
ELSEDO

```

```

        CALL FECHX(4,16,X)
        IF (QPRE) EXECUTE RFX45
        CALL FMBWC(A,X,N,JPIV)
    ENDIF
    IF (QPRE) EXECUTE RAB45
    CALL ABREX(4,16,X)
    EXECUTE NEOCOT
    EXECUTE MONTE
406 CONTINUE
C
PRIMA=.TRUE.
TI=T
DO 407 T=TI,TPARE
    EXECUTE CORIG
    IF (PRIMA) THENDO
        EXECUTE COPIA
        IF (QPRE) EXECUTE RFE45
        CALL LUSOLV(A,X,N,JPIV)
        PRIMA=.FALSE.
    ELSEDO
        IF (QPRE) EXECUTE RFX45
        CALL FMBWC(A,X,N,JPIV)
    ENDIF
    IF (QPRE) EXECUTE RAB45
    EXECUTE NEOCOT
    EXECUTE MONTE
407 CONTINUE
PRINT 410
410 FORMAT(1H1)
WRITE(6,409) R4,R5,C5,YMAX,SUPER
409 FORMAT(5E14.4)
IF(QPLOT) CALL PLOT(Y,3,TPARE,50)
RETURN
C
C -----
C BLOCOS REMOTOS.
C -----
C45
REMOTE BLOCK MONTE
    IF(FATOR .EQ. 0.) THENDO
        CALL PICOS(T,E4)
    ELSEDO
        CALL PILHACT,E4,FATOR)
    ENDIF
ENDBLOCK
C50
REMOTE BLOCK NEOCOP
    CALL REGIME(T,FE1 ,E1 )
    CALL REGIME(T,FE2 ,E2 )
    CALL REGIME(T,FE3 ,E3 )
    CALL REGIME(T,FE4 ,E4 )
    CALL REGIME(T,FI12,I12)
    CALL REGIME(T,FI21,I21)
    CALL REGIME(T,FI23,I23)
    CALL PROMV(E1 ,GAF,E1)
    CALL PROMV(AVE,GAF,E2)
    CALL PROMV(E2 ,GBF,E2)
    CALL PROMV(E3 ,GBF,E3)
    CALL PROMV(I21,HAF,I21)
    CALL PROMV(I12,HAF,I12)
    CALL PROMV(I23,HBF,I23)
    DO 501 K=1,3
        JA1(K,T)=AVE(K)+I21(K)
        JA2(K,T)=E1 (K)+I12(K)
        JB2(K,T)=E3 (K)
        JB3(K,T)=E2 (K)+I23(K)
501 CONTINUE
    IF (QINTER) THENDO
        CALL REGIME(T,FI24,I24)

```

```

        CALL REGIME(T,FI26,I26)
        PRINT 603, T,I24,I26,E4,E2
    ENDIF
ENDBLOCK
C55
REMOTE BLOCK CORIG
    DO 551 K=1,3
        E1(K)=JA1(K,T-TVA(K))
        E2(K)=JA2(K,T-TVA(K))+JB2(K,T-TVB(K))
        E3(K)=JB3(K,T-TVB(K))
        E5(K)=IRC5(K)
        E6(K)=0.
551    CONTINUE
        X(19)=X(20)=0.
        CALL REGIME(T,FES,ES)
        CALL PROMV(E1,S ,E1 )
        CALL PROMV(ES,GRL1,ES )
        CALL SOMAV(E1,E1 ,ES )
        CALL SOMAV(E1,IRL1,E1 )
        CALL PROMV(E2,S ,E2 )
        CALL SUBTV(E2,E2 ,IRL2)
        CALL PROMV(E3,S ,E3 )
        CALL SUBTV(E4,IC4 ,IL4)
ENDBLOCK
C60
REMOTE BLOCK NEOCOT
C
C    CORRENTES INTERROMPIDAS.
C
    IF (QINTER) THEN DO
        CALL PROMV(IT4,GL4,E4 )
        CALL SOMAV(IT4,IT4,IL4)
        CALL SUBTV(AVE,E6 ,E4 )
        CALL PROMV(I26,GR4,AVE)
        CALL PROMV(AVE,GC4,E4 )
        CALL SUBTV(AVE,AVE,IC4)
        CALL SOMAV(I24,IT4,AVE)
        CALL SUBTV(I24,I24,I26)
        PRINT 603, T,I24,I26,E4,E2
603 +  FORMAT(/6X,"TEMPO=",I6,12X,"I24  =",3E12.3,6X,"I26  =",3E12.3
        //          30X,"E4  =",3E12.3,6X,"E2  =",3E12.3/)
    ENDIF
C
C    ATUALIZACAO DE VALORES HISTORICOS.
C
    CALL PROMV(AVE,GC4,E4 )
    CALL PROCV(AVE,2. ,AVE)
    CALL SUBTV(IC4,AVE,IC4)
C
    CALL PROMV(AVE,GL4,E4 )
    CALL PROCV(AVE,2. ,AVE)
    CALL SOMAV(IL4,AVE,IL4)
C
    CALL SUBTV(AVE ,ES ,E1 )
    CALL PROMV(AVE ,URL1,AVE )
    CALL PROMV(IRL1,HRL1,IRL1)
    CALL SOMAV(IRL1,AVE ,IRL1)
C
    CALL PROMV(AVE ,URL2,E2 )
    CALL PROMV(IRL2,HRL2,IRL2)
    CALL SOMAV(IRL2,AVE ,IRL2)
C
    CALL PROMV(AVE ,URC5,E5 )
    CALL PROMV(IRC5,HRC5,IRC5)
    CALL SUBTV(IRC5,AVE ,IRC5)
C
    DO 604 K=1,3
        I12(K)=JA2(K,T-TVA(K))
        I21(K)=JA1(K,T-TVA(K))

```

```

        I23(K)=JB3(K,T-TVB(K))
        I32(K)=JB2(K,T-TVB(K))
604    CONTINUE
C
        CALL PROMV(I12,HA,I12)
        CALL PROMV(I21,HA,I21)
        CALL PROMV(I23,HB,I23)
        CALL PROMV(I32,HB,I32)
C
        CALL PROMV(AVE,UGA,E2)
        CALL PROMV(E1,UGA,E1)
        CALL PROMV(E3,UGB,E3)
        CALL PROMV(E2,UGB,E2)
C
        DO 605 K=1,3
            JA1(K,T)=AVE(K)-I12(K)
            JA2(K,T)= E1(K)-I21(K)
            JB2(K,T)= E3(K)-I23(K)
            JB3(K,T)= E2(K)-I32(K)
605    CONTINUE
        IF(T .LE. T261) CALL REGIME(T,FE4,E4)
        ENDBLOCK
C65
        REMOTE BLOCK COPIA
        DO 652 I=1,20
            DO 651 J=1,20
                A(I,J)=P(I,J)
651    CONTINUE
652    CONTINUE
        ENDBLOCK
C70
        REMOTE BLOCK RFE45
        CALL FECHE(12,15,X)
        CALL FECHE(11,14,X)
        CALL FECHE(10,13,X)
        ENDBLOCK
        REMOTE BLOCK RFX45
        CALL FECHX(12,15,X)
        CALL FECHX(11,14,X)
        CALL FECHX(10,13,X)
        ENDBLOCK
        REMOTE BLOCK RAB45
        CALL ABREX(10,13,X)
        CALL ABREX(11,14,X)
        CALL ABREX(12,15,X)
        ENDBLOCK
        END
C
C
C
C
C
-----
SUBROUTINE PILHA(T,E4,FATOR)
    INTEGER T
    LOGICAL QPLOT
    DIMENSION Y(4,400),E4(3)
    COMMON /PP/Y,YMAX,YMIN,QPLOT
    QPLOT=.TRUE.
    DO 40 I=1,3
        Y(I,T)=E4(I)*FATOR
40    CONTINUE
    ENTRY PICOS(T,E4)
        Y(4,T)=AMAX1(ABS(E4(1)),ABS(E4(2)),ABS(E4(3)))
        YMAX=AMAX1(YMAX,Y(4,T))
    RETURN
    END
C
C
C
-----

```

```

C   START ANALISA O SISTEMA EM REGIME PERMANENTE.
C   -----
C   SUBROUTINE START(R4,R5,C5)
C
C10  DIMENSIONAMENTOS E ESPECIFICACOES.
C
      IMPLICIT   COMPLEX(E,I,X,Y,Z)
      COMPLEX   CMPLX,POLAR
      LOGICAL   QSTART,QINTER,QNOREL,QPRE
      DIMENSION YP(7,7),EP(7)
      COMMON/PS/ ES,E1,E2,E3,E4,E5,E6,I12,I21,IL4,IC4,IRC5,IRL2,I23,I32,
      *          I24,I26,ES1 /EPS/QSTART,QINTER,QNOREL,QPRE
C
C20  INICIALIZACOES.
C
      DATA OMEGA,N/376.9911,6/
      ZRL1=      (2.09,18.24)
      ZRLA=      (8.65,47.43) ;          ZRLB=ZRLA
      YCA2=CMPLX(0.,3.23E-6*OMEGA/2.)
      YCB2=CMPLX(0.,.807E-6*OMEGA/2.)
      ZRL2=CMPLX(188.,165.7)
      YC4 =CMPLX(0.,9.66E-9*OMEGA )
      ZRC5=CMPLX(R5,-1./OMEGA*C5)
      ES=1.
      XL4=CMPLX(0.,14.5*OMEGA)
C30  FORMACAO DA MATRIZ ADMITANCIA E DO VETOR CORRENTE ORIGINAIS.
C
      DO 302 K=1,7
        DO 301 J=1,7
          YP(K,J)=0.
301    CONTINUE
          EP(K)=0.
302  CONTINUE
          EP(1) =ES/ZRL1
          YP(1,1)=1./ZRL1+1./ZRLA+ YCA2
          YP(2,2)=1./ZRLA+ YCA2+1./ZRL2+YCB2+1./ZRLB
          YP(3,3)=1./ZRLB+ YCB2
          YP(4,4)=1./R4 +1./XL4+YC4
          YP(5,5)=1./ZRC5
          YP(6,6)=1./R4
          YP(1,2)=-1./ZRLA ;          YP(2,1)=YP(1,2)
          YP(2,3)=-1./ZRLB ;          YP(3,2)=YP(2,3)
          YP(4,6)=-1./R4 ;          YP(6,4)=YP(4,6)
C
C50  SIMULACAO DO CHAVEAMENTO, CALCULOS DAS TENSOES.
C
      CALL FECHY(YP,EP,N,2,6)
      IF (QPRE) CALL FECHY(YP,EP,N,4,5)
      CALL FECHY(YP,EP,N,2,4)
      CALL GAUSC(YP,EP,N)
      CALL ABRY (YP,EP,N,2,4)
      IF (QPRE) CALL ABRY (YP,EP,N,4,5)
      CALL ABRY (YP,EP,N,2,6)
      E1=EP(1) ; E2=EP(2) ; E3=EP(3)
      E4=EP(4) ; E5=EP(5) ; E6=EP(6)
      ES1=ES-E1
C
C60  CALCULOS DAS CORRENTES.
C
      I12 =(ES-E1)/ZRL1
      I21 =(E2-E1)/ZRLA+YCA2*E2
      IL4 = E4/XL4
      IC4 = YC4*E4
      IRC5= E5/ZRC5
      IRL2= E2/ZRL2
      I23 =(E2-E3)/ZRLB+YCB2*E2
      I32 =(E3-E2)/ZRLB+YCB2*E3
      I26=(E6-E4)/R4 ; I24=IL4+IC4-I26+IRC5
C

```

C70 RELATORIO.

C

```
IF(QNOREL) RETURN
CALL GRAROC1,"IMPEDANCIAS E ADMITANCIAS DO SISTEMA      ")
PRINT 701, ZRLA,YCA2,ZRL1,ZRLB,YCB2,ZRL2,XL4,YC4,ZRC5,R4
CALL GRAROC1,"TENSOES E CORRENTES DE REGIME PERMANENTE  ")
PRINT 700
700  FORMAT(/12X,3(18X,"MODULO",6X," FASE"/))
      PRINT 702, POLAR(E1 ),POLAR(E2 ),POLAR(E3 ),
+         POLAR(E4 ),POLAR(E5 ),POLAR(E6 )
      PRINT 703, POLAR(I12 ),POLAR(I23 ),POLAR(I24 ),
+         POLAR(I21 ),POLAR(I32 ),POLAR(I26 ),
+         POLAR(I14 ),POLAR(I14 ),POLAR(I14 ),POLAR(I14 )
701  FORMAT(/18X,"ZRLA =",2E12.3,6X,"YCA2 =",2E12.3,6X,"ZRL1 =",2E12.3/
+         , /18X,"ZRLB =",2E12.3,6X,"YCB2 =",2E12.3,6X,"ZRL2 =",2E12.3/
+         /18X,"XL4  =",2E12.3,6X,"YC4  =",2E12.3,6X,"ZRC5 =",2E12.3/
+         /18X,"R4   =",2E12.3 /)
702  FORMAT(/18X,"PE1  =",2E12.3,6X,"PE2  =",2E12.3,6X,"PE3  =",2E12.3/
+         /18X,"PE4  =",2E12.3,6X,"PE5  =",2E12.3,6X,"PE6  =",2E12.3/
+         /18X/)
703  FORMAT(/18X,"PI12 =",2E12.3,6X,"PI23 =",2E12.3,6X,"PI24 =",2E12.3/
+         /18X,"PI21 =",2E12.3,6X,"PI32 =",2E12.3,6X,"PI26 =",2E12.3/
+         /18X,"PIL4  =",2E12.3,6X,"PIC4  =",2E12.3,6X,"PIRC5=",2E12.3/
+         /18X,"PIRL2=",2E12.3 ///)
QNOREL=.TRUE.
RETURN
END
```

C

C

C

C

C

OPEMA CRIA E OPERA COM MATRIZES QUADRADAS E VETORES DE DIMENSOES
TRES.

```
SUBROUTINE OPEMA(MA,MB,MC,VA,VB,VC,KS,KM,KP,KZ,K)
      REAL MA(3,3),MB(3,3),MC(3,3),MD(3,3),VA(3),VB(3),VC(3),VD(3),
+         K,KP,KZ,KS,KM,KD,KN,NK
      ENTRY SOMAM(MA,MB,MC)
        DO 12 I=1,3
          DO 11 J=1,3
            MA(I,J)=MB(I,J)+MC(I,J)
11          CONTINUE
12        CONTINUE
      RETURN
      ENTRY SOMAV(VA,VB,VC)
        DO 13 I=1,3
          VA(I)=VB(I)+VC(I)
13        CONTINUE
      RETURN
      ENTRY SUBTM(MA,MB,MC)
        DO 22 I=1,3
          DO 21 J=1,3
            MA(I,J)=MB(I,J)-MC(I,J)
21          CONTINUE
22        CONTINUE
      RETURN
      ENTRY SUBTV(VA,VB,VC)
        DO 23 I=1,3
          VA(I)=VB(I)-VC(I)
23        CONTINUE
      RETURN
      ENTRY PROCM(MA,K,MB)
        DO 32 I=1,3
          DO 31 J=1,3
            MA(I,J)=K*MB(I,J)
31          CONTINUE
32        CONTINUE
      RETURN
      ENTRY PROCV(VA,K,VB)
        DO 33 I=1,3
          VA(I)=K*VB(I)
```

```

33     CONTINUE
      RETURN
      ENTRY PROMM(MA,MB,MC)
        DO 43 I=1,3
          DO 42 J=1,3
            MD(I,J)=0.
            DO 41 L=1,3
              MD(I,J)=MD(I,J)+MB(I,L)*MC(L,J)
41     CONTINUE
42     CONTINUE
43     CONTINUE
        DO 45 I=1,3
          DO 44 J=1,3
            MA(I,J)=MD(I,J)
44     CONTINUE
45     CONTINUE
      RETURN
      ENTRY PROMV(VA,MA,VB)
        DO 47 I=1,3
          VD(I)=0.
          DO 46 J=1,3
            VD(I)=VD(I)+MA(I,J)*VB(J)
46     CONTINUE
47     CONTINUE
        DO 48 I=1,3
          VA(I)=VD(I)
48     CONTINUE
      RETURN
      ENTRY INVER(MA,MB)
        KD=MB(1,1)
        KN=MB(1,2)
        H=(KD+KN)*KD-2.*KN*KN
        DK=(KD+KN)/H
        NK=-KN/H
        DO 52 I=1,3
          DO 51 J=1,3
            MA(I,J)=NK
51     CONTINUE
        MA(I,I)=DK
52     CONTINUE
      RETURN
      ENTRY GERMM(MA,KP,KZ)
        DO 62 I=1,3
          DO 61 J=1,3
            MA(I,J)=0.
61     CONTINUE
62     CONTINUE
        MA(1,1)=KZ
        MA(2,2)=KP ; MA(3,3)=KP
      RETURN
      ENTRY GERFM(MA,KP,KZ,K)
        KS=(KZ+2.*KP)/3.
        KM=(KZ-KP)/3.
      ENTRY GERFF(MA,KS,KM,K)
        DO 64 I=1,3
          DO 63 J=1,3
            MA(I,J)=KM*K
63     CONTINUE
        MA(I,I)=KS*K
64     CONTINUE
      RETURN
      END

```

C
C
C
C
C

FECHY PARTICULARIZA O PROBLEMA A SER RESOLVIDO.

SUBROUTINE FECHY(A,X,N,I,J)
COMPLEX A(7,7),X(7)


```

      IF(I .GT. J) EXECUTE TROCA
      DO 101 K=1,N
      A(I,K)=A(I,K)+A(J,K)
101  CONTINUE
      DO 102 K=1,N
      A(K,I)=A(K,I)+A(K,J)
102  CONTINUE
      N1=N-1
      DO 103 L=J,N1
      M=L+1
      DO 105 K=1,N
      A(L,K)=A(M,K)
105  CONTINUE
      DO 103 K=1,N
      A(K,L)=A(K,M)
103  CONTINUE
      N=N-1
      RETURN
      ENTRY ABRY (A,X,N,I,J)
      IF(I .GT. J) EXECUTE TROCA
      N=N+1 ;           K=N
      WHILE (K .GT. J) DO
        X(K)=X(K-1)
        K=K-1
      ENDWHILE
      X(J)=X(I)
      RETURN
      REMOTE BLOCK TROCA
        NCOP=I
        I=J
        J=NCOP
      ENDBLOCK
      END

```

C
C
C
C
C

FECHE SIMULA O FECHAMENTO DE UM POLO DO DISJUNTOR.

```

SUBROUTINE FECHE(I,J,X)
DIMENSION A(20,20),X(20)
COMMON /PF/A,N
IF(I .GT. J) EXECUTE TROCA
DO 101 K=1,N
A(I,K)=A(I,K)+A(J,K)
101 CONTINUE
DO 102 K=1,N
A(K,I)=A(K,I)+A(K,J)
102 CONTINUE
N1=N-1
DO 103 L=J,N1
M=L+1
DO 105 K=1,N
A(L,K)=A(M,K)
105 CONTINUE
DO 103 K=1,N
A(K,L)=A(K,M)
103 CONTINUE
ENTRY FECHX(I,J,X)
IF(I .GT. J) EXECUTE TROCA
X(I)=X(I)+X(J)
N=N-1
DO 20 K=J,N
X(K)=X(K+1)
20 CONTINUE
RETURN
ENTRY ABREX(I,J,X)
IF(I .GT. J) EXECUTE TROCA
N=N+1 ;           K=N
WHILE (K .GT. J) DO

```

```

      X(K)=X(K-1)
      K=K-1
    ENDWHILE
    X(J)=X(I)
    RETURN
  REMOTE BLOCK TROCA
    NCOP=I
    I=J
    J=NCOP
  ENDBLOCK
  END

C
C
C -----
C PLOT
C -----
  SUBROUTINE PLOT (Y,M,NF,NS)
  DIMENSION Y(4, NF),LINE(101),L(11),JL(5)
  DATA JL(1),JL(2),JL(3),JL(4),JL(5)/1HA,1HB,1HC,1HD,1HE/
  DATA JN,JP,JT,JBLANK,JZ/1H-,1H+,1HI,1H ,1H$/
  WRITE(6,300)
300  FORMAT(////////)
  DO 99 I=1,101
  LINE(I)=JBLANK
99  CONTINUE
  N=0
C-----PRINT ORDINATE SCALE
  DO 101 I=1,11
  L(I)=10*I-110+NS
101  CONTINUE
  WRITE(6,105) L
105  FORMAT (3X,11(I4,6X))
  GO TO 115
110  IF (N/10-(N-1)/10) 125,125,115
C
115  ND=0
  DO 120 I=1,10
  ND=ND+1
  LINE(ND)=JP
  DO 120 J=1,9
  ND=ND+1
120  LINE(ND)=JN
  LINE(101)=JP
  IF(N) 135,121,135
121  WRITE(6,170) N,LINE
  GO TO 185
C
C-----CONSTRUCT 1 LINE OF ABSCISSA GRAPH LINES
125  DO 130 I=1,101,10
  LINE(I)=JI
130  CONTINUE
C
C-----CHANGE NUMERICAL DATA TO LETTERS
135  DO 160 I=1,M
  XNS=NS
  JA=Y(I,N)+101.49999-XNS
  IF(JA-101) 140,155,145
140  IF (JA) 150,150,155
145  LINE(101)=JZ
  GO TO 160
150  LINE(1)=JZ
  GO TO 160
155  LINE(JA)=JL(I)
160  CONTINUE
C
C-----PRINT LINE OF DATA
  IF (N/10-(N-1)/10) 175,175,165
165  WRITE(6,170) N,LINE,Y(4,N)
170  FORMAT (1X,I4,101A1,1PG11.3)

```

```

GO TO 185
175 WRITE(6,180) LINE,Y(4,N)
180 FORMAT (5X,101A1,1PG11.3)
C
C-----SET LINE VARIABLES TO ZERO
185 DO 190 I=1,101
LINE(I)=JBLANK
190 CONTINUE
195 N=N+1
IF (N-NF) 110,110,200
200 WRITE(6,300) ; RETURN
END

```

C
C
C
C
C
C
C

GAUCS RESOLVE EQUACOES ALGEBRICAS LINEARES SIMULTANEAS COM COE-
FICIENTES COMPLEXOS.

```

SUBROUTINE GAUCS(A,B,N)
COMPLEX A(7,7),B(7),SUM,PIV
DO 5 I=1,N
I1=I+1
IF(CABS(A(I,I)) .LE. 1.E-10) GOTO 1
GOTO 15
1 CONTINUE
IF(I .EQ. N) GOTO 10
DO 14 J=I1,N
IF(CABS(A(J,I)) .LE. 1.E-10) GOTO 14
IPIV=J
GOTO 16
14 CONTINUE
GOTO 10
16 DO 2 K=1,N
PIV=A(IPIV,K)
A(IPIV,K)=A(I,K)
2 A(I,K)=PIV
PIV=B(IPIV)
B(IPIV)=B(I)
B(I)=PIV
15 IF(I .EQ. N) GOTO 3
DO 8 JI=I1,N
8 A(I,JI)=A(I,JI)/A(I,I)
B(I)=B(I)/A(I,I)
DO 5 J=I1,N
DO 4 K=I1,N
4 A(J,K)=A(J,K)-(A(J,I)*A(I,K))
5 B(J)=B(J)-(B(I)*A(J,I))
3 B(N)=B(N)/A(N,N)
DO 6 K=2,N
I=N-K+1
L=I+1
SUM=0.
DO 7 J=L,N
7 SUM=SUM+A(I,J)*B(J)
6 B(I)=B(I)-SUM
RETURN
10 WRITE(6,9)
9 FORMAT(" ***** EQUATIONS ARE LINEARLY DEPENDENT ***** ")
STOP
END

```

C
C
C
C

LUSOLV

```

SUBROUTINE LUSOLV(A,BC,N,JPIV)
DIMENSION A(20,20),BC(20),JPIV(20)
DO 4 I=1,N
JPIV(I)=I

```

```

I1=I+1
IF( ABS(A(I,I)).LE.1.E-50) GO TO 1
GO TO 15
1 CONTINUE
DO 14 J=I1,N
IF(I.EQ.N) GO TO 20
IF( ABS(A(J,I)).LE.1.E-50) GO TO 14
JPIV(I)=J
GO TO 16
14 CONTINUE
GO TO 20
16 DO 2 K=1,N
IPIV=JPIV(I)
PIV=A(IPIV,K)
A(IPIV,K)=A(I,K)
A(I,K)=PIV
2 CONTINUE
15 IF(I.EQ.N) GO TO 3
DO 8 JI=I1,N
8 A(I,JI)=A(I,JI)/A(I,I)
DO 4 J=I1,N
DO 4 K=I1,N
4 A(J,K)=A(J,K)-(A(J,I)*A(I,K))
3 CONTINUE
ENTRY FWBWC(A,BC,N,JPIV)
DO 61 I=1,N
IPIV=JPIV(I)
IF(IPIV.LE.I) GO TO 61
J=I
PIVA=BC(I)
62 PIV=BC(IPIV)
BC(IPIV)=PIVA
JPIV(J)=-IPIV
J=IPIV
IPIV=JPIV(J)
PIVA=PIV
IF(IPIV.GT.0) GO TO 62
61 CONTINUE
DO 63 I=1,N
63 JPIV(I)=IABS(JPIV(I))
C FORWARD SUBSTITUTION
DO 31 K=1,N
SUM=0.0
IF(K.EQ.1) GO TO 41
MM=K-1
DO 51 J=1,MM
51 SUM=SUM+A(K,J)*BC(J)
41 BC(K)=(1./A(K,K))*(BC(K)-SUM)
31 CONTINUE
C BACKWARD SUBSTITUTION
DO 91 LL=1,N
K=(N+1)-LL
SUM=0.0
IF(K.EQ.N) GO TO 81
KK=K+1
DO 71 J=KK,N
71 SUM=SUM+A(K,J)*BC(J)
81 BC(K)=BC(K)-SUM
91 CONTINUE
GO TO 50
20 PRINT 21
21 FORMAT("EQUATIONS ARE LINEARLY DEPENDENT")
STOP
30 CONTINUE
RETURN
END

```

C
C
C

C
C
C
C
C

SUBROTINAS AUXILIARES PARA CONFECCAO DE RELATORIOS.

```

SUBROUTINE GRAFIA(WA,MA,VA,FA,WB,MB,VB,FB,WC,MC,VC,FC)
  CHARACTER*6 WA,WB,WC
  REAL      MA(3,3),MB(3,3),MC(3,3),VA(3),VB(3),VC(3)
  COMPLEX   FA,FB,FC
  ENTRY GRAMAC(WA,MA,WB,MB,WC,MC)
  WRITE(6,50) WA,WB,WC,((MA(I,J),J=1,3),(MB(I,J),J=1,3),
+              (MC(I,J),J=1,3),I=1,3)
50  FORMAT(1H0,T3,A6,T45,A6,T88,A6/3(1P3E12.3,2(6X,1P3E12.3))//)
  RETURN
  ENTRY GRAVE(WA,VA,WB,VB,WC,VC)
  WRITE(6,60) WA,WB,WC,VA,VB,VC
60  FORMAT(1H0,T3,A6,T45,A6,T88,A6/ 1P3E12.3,2(6X,1P3E12.3) )
  RETURN
  ENTRY GRACD(WA,FA,WB,FB,WC,FC)
  WRITE(6,70) WA,FA,WB,FB,WC,FC
70  FDRMAT(1H0,6X,A6,1P2E12.3,2(12X,A6,1P2E12.3))
  RETURN
END
SUBROUTINE GRARO(NF,ROTULO)
  CHARACTER*1 LINE(119)/119 *1H-/
  CHARACTER*47 ROTULO
  IF(NF-1) 10,20,30
10  PRINT 14,ROTULO
14  FORMAT(////1X,A47/)
20  CONTINUE
  PRINT 24, LINE,ROTULO,LINE
24  FORMAT(////1X,119A1/1X,A47/1X,119A1//)
30  RETURN
END
SUBROUTINE RELAT(A,N)
  DIMENSION A(20,20)
  WRITE(6,605) ((I,J,A(I,J),J=I,N),I=1,N)
  DO 602 I=1,N
    DO 601 J=1,N
      IF(A(I,J) .NE. A(J,I)) WRITE(6,606) I,J
      IF(ABS(A(I,J)) .GE. 1.) WRITE(6,606) I,J
601  CONTINUE
      IF(A(I,I) .LE. 0.) WRITE(6,606) I,I
602  CONTINUE
  WRITE(6,607)
605  FORMAT( 5(I8,I4,F12.7))
606  FORMAT( ///" *** ADVERTENCIA *** O ELEMENTO (" ,I2," ,",I2," ) DE"
+        , "STA MATRIZ TEM VALOR NAO ESPERADO" //)
607  FORMAT( //// )
  RETURN
END
$ENTRY

```